

**Optimización de la Trayectoria de Ascenso de Aeronaves A320
mediante Reducción de Dimensionalidad y Computación
Cuántica**

*Trabajo de grado para optar al título de
Magíster en Física*



Marco A. Erazo

Director:

Dr. Leonardo A. Pachón

Universidad de Antioquia
Facultad de Ciencias Exactas y Naturales
Medellín, Colombia
Diciembre 2024

Abstract

Resumen

Índice general

| | |
|----------------------------------------------------------------------------------|-----------|
| Abstract | I |
| Resumen | II |
| Lista de Símbolos y Abreviaturas | v |
| 1 Introducción | 1 |
| 2 Mecánica de Vuelo y Aerodinámica | 7 |
| 2.1 Conceptos Fundamentales de Aerodinámica | 7 |
| 2.2 Mecánica de Vuelo: Ecuaciones del Movimiento | 9 |
| 2.3 Variables de Estado y Control en la Mecánica de Vuelo | 11 |
| 2.4 Limitaciones y Restricciones Operacionales | 11 |
| 2.5 Estructura de Problemas de Optimización en Mecánica de Vuelo | 12 |
| 2.6 Cálculo del Consumo y Tiempo | 13 |
| 2.7 Consideraciones Aerodinámicas Avanzadas | 14 |
| 2.8 Unificación de Conceptos | 15 |
| 2.9 Ejemplo de Ecuaciones y Cálculos de Rendimiento | 15 |
| 2.10 Estrategias de Optimización y Herramientas Matemáticas | 17 |
| 2.11 Importancia Práctica | 17 |
| 3 Teorema de la Función Implícita | 18 |
| 3.1 Funciones Implícitas | 18 |
| 3.2 El Teorema de la Función Implícita | 19 |
| 3.3 Análisis de las Condiciones | 20 |
| 3.4 El rol del Jacobiano | 20 |
| 3.5 Generalización a Múltiples Variables y Ecuaciones | 21 |
| 3.6 Aplicaciones e Importancia | 22 |
| 4 Optimización y Métodos de muestreo | 24 |
| 4.1 Métodos de Optimización | 25 |
| 4.2 Métodos de Muestreo | 29 |
| 5 Optimización cuántica | 39 |
| 5.1 Principios Básicos de Computación Cuántica | 39 |
| 5.2 Algoritmos Cuánticos para Optimización | 41 |
| 5.3 Aplicacion | 44 |
| 6 Optimización de la trayectoria del Aibus A320 | 46 |
| 6.1 Modelo Original del Problema Airbus A320 | 47 |
| 6.2 Análisis de Independencia Diferencial entre Relaciones del Sistema | 53 |

| | | |
|-----------------------------------------------|--------------------------------------------------------------------------|-----------|
| 6.3 | Reducción de Dimensionalidad del Modelo de AIRBUS | 58 |
| 6.4 | Muestreo del Espacio de existencia y Ajuste de la Función Objetivo . . . | 64 |
| 6.4.1 | Evaluación Comparativa de Estrategias de Muestreo para el Caso10D | 64 |
| 6.5 | Optimización y Análisis | 67 |
| Bibliografía | | 70 |
| Apéndice A: Tabla parámetros Jacobiano | | 71 |
| A.1 | Apéndice B: Código de ϕ | 73 |
| A.2 | Apéndice C: Datos Adicionales | 73 |

Lista de Símbolos y Abreviaturas

α : Alfa - Ángulo de incidencia

β : Beta - Ángulo de reflexión

λ : Lambda - Longitud de onda

E: Energía

c: Velocidad de la luz

etc.: Etcétera

Capítulo 1

Introducción

Contexto y Explicación del Problema

La optimización de trayectorias de vuelo constituye un problema central para la industria aeronáutica, con implicaciones en la eficiencia operativa, el impacto ambiental y la rentabilidad de las aerolíneas. El aumento en la demanda de transporte aéreo y la necesidad de disminuir las emisiones de gases de efecto invernadero minimizando el consumo de combustible, han fomentado la investigación y el desarrollo en esta área. El concurso “AIRBUS Quantum Computing Challenge” del fabricante Airbus [1] ejemplifica este enfoque. Dicho concurso abordó, entre otros, la optimización de la fase de ascenso para aeronaves de la familia A320, cuestión que es la base del estudio académico aquí desarrollado.

La optimización de trayectorias de vuelo consiste fundamentalmente en determinar la configuración de variables para alcanzar un objetivo definido, como la minimización del consumo de combustible, del tiempo de vuelo, o una combinación métrica, cumpliendo un conjunto de restricciones operativas y de seguridad [2]. Estas restricciones comprenden límites de velocidad, altitud, ángulo de ascenso, aceleración y potencia del motor, entre otras variables que definen el estado y comportamiento de la aeronave [3].

La fase de ascenso, en particular, es de especial interés por su alto consumo de combustible en comparación con otras fases del vuelo, como el crucero [4]. La optimización de esta fase puede conducir a reducciones sustanciales en el consumo total de combustible y, en consecuencia, en las emisiones contaminantes [5]. Además, optimizar el ascenso puede resultar en una menor duración del vuelo, lo que a su vez puede mejorar la eficiencia de

la red de rutas de una aerolínea y reducir los costos operativos [6].

El problema de optimizar la trayectoria de ascenso de una aeronave es complejo debido a la naturaleza no lineal de las ecuaciones que gobiernan la dinámica del vuelo [7], la gran cantidad de variables involucradas [8], y las múltiples restricciones operativas y de seguridad que deben ser consideradas [9]. Los métodos clásicos de optimización, como la programación lineal y no lineal, a menudo encuentran dificultades para resolver este tipo de problemas de manera eficiente, especialmente cuando se trata de un gran número de variables y restricciones [10].

En este contexto, el concurso de Airbus expone un planteamiento matemático, en términos de expresiones no están cohesionadas en una expresión final, para la optimización de la fase de ascenso de las aeronaves A320. Este modelo, que se describe en detalle en la sección de Análisis del Problema Original, considera una serie de variables que definen el estado de la aeronave en cada punto de una trayectoria discretizada en N partes, incluyendo la velocidad, el ángulo de ascenso, la masa, la distancia recorrida, el coeficiente de sustentación y la fracción del empuje máximo de ascenso [11]. El objetivo es minimizar una función de costo que combina el consumo de combustible y el tiempo de vuelo, ponderados por un "Índice de Costo" (Cost Index, CI) [12], sujeto a las ecuaciones de movimiento de la aeronave y a un conjunto de restricciones operativas que incluyen límites en la velocidad calibrada del aire (CAS), el número de Mach, la velocidad vertical, el coeficiente de sustentación y la configuración de empuje [13], este trabajo estará enfocado en el tratamiento matemático a partir del planteamiento original no en el modelo físico. El concurso de Airbus estableció, además, una serie de "Key Performance Indicators" (KPI) para evaluar las soluciones propuestas. Estos KPI incluyen la provisión de un método cuántico o híbrido para el problema de optimización, una estimación de los recursos de computación cuántica requeridos para ejecutar el algoritmo, y una comparación del tiempo de cálculo entre el algoritmo cuántico y una implementación clásica del método de optimización propuesto [14].

El problema de investigación que se plantea en este trabajo es el desarrollo y la evaluación de un método eficiente para la optimización de la trayectoria de ascenso de aeronaves A320, basado en la reducción de dimensionalidad y la computación cuántica, que permita minimizar el consumo de combustible y el tiempo de vuelo, sujeto a las restricciones operativas y de seguridad relevantes. Se busca, en particular, explorar cómo la reducción

de dimensionalidad del problema original de Airbus, a través del análisis del Jacobiano y la identificación de variables independientes, puede simplificar el problema de optimización y hacerlo más tratable tanto para métodos de optimización clásicos como para algoritmos cuánticos.

La computación cuántica, un campo emergente con el potencial de revolucionar la capacidad de cómputo [15], ofrece nuevas posibilidades para resolver problemas de optimización complejos que son difíciles de abordar con métodos clásicos [16]. En particular, algoritmos como el "Quantum Approximate Optimization Algorithm" (QAOA) [17] y el "Variational Quantum Eigensolver" (VQE) [18] han mostrado resultados prometedores en la resolución de problemas de optimización combinatoria [19]. La tecnología de computación cuántica se halla en una etapa inicial de desarrollo limitado principalmente por el número de cúbits y la coherencia cuántica [20]. En este contexto se aborda la preparación del problema de optimización de la trayectoria de ascenso para su eventual resolución mediante futuros computadores cuánticos.

El procedimiento metodológico adoptado en esta investigación comprendió secuencialmente: la simplificación del modelo matemático original de Airbus y la verificación del modelo resultante; la formulación simbólica de la función objetivo; la exploración de estrategias de muestreo para la generación de puntos en el espacio de soluciones; y la transformación de la función objetivo en una representación cuadrática binaria optimizable vía computación cuántica. De particular relevancia para este trabajo es la etapa de reducción de dimensionalidad. Al reducir el número de variables independientes de 364 a 104, se simplifica significativamente la complejidad del problema de optimización. Esto no solo facilita la aplicación de métodos de optimización clásicos, sino que también hace que el problema sea más adecuado para su eventual resolución en computadoras cuánticas, que actualmente tienen un número muy restringido de cúbits disponibles [21]. El análisis del Jacobiano [22], ha permitido identificar las dependencias lineales entre las ecuaciones de actualización de estado del modelo de Airbus y, en consecuencia, reducir el número de variables independientes. Este análisis, junto con la implementación de un método iterativo para calcular la masa y otras variables, ha sido clave para la simplificación del modelo. La búsqueda de puntos que cumplan con las restricciones del problema ha sido otro aspecto importante de esta investigación. Se han explorado diferentes métodos de muestreo, incluyendo la generación de puntos en una grilla hexaédrica, el muestreo alea-

torio con perturbaciones gaussianas, la búsqueda de puntos adyacentes y finalmente, el uso de secuencias de Sobol [23]. Cada uno de estos métodos tiene sus propias ventajas y desventajas en términos de eficiencia computacional, uniformidad del muestreo y capacidad para cubrir el espacio de soluciones [24]. La elección de un método u otro tiene implicaciones importantes para la calidad de la aproximación de la función objetivo y, en última instancia, para la eficiencia de la optimización.

La aproximación de la función objetivo mediante muestreo de la función original, específicamente una función cuadrática binaria, es determinante para la aplicación de la computación cuántica. Se intentó inicialmente utilizar polinomios de Chebyshev [25], que son conocidos por su precisión en la aproximación de funciones, sin embargo, la complejidad de la función objetivo y el gran número de variables involucradas (incluso después de la reducción de dimensionalidad) hicieron que este enfoque fuera computacionalmente inviable. Como alternativa, se optó por ajustar una función cuadrática binaria a un conjunto de puntos válidos obtenidos mediante la búsqueda con secuencias de Sobol. Esta función cuadrática, que puede ser expresada en la forma de un problema de optimización cuadrática sin restricciones binarias (QUBO) [26], es adecuada para su resolución en plataformas de computación cuántica como D-Wave [27].

Este trabajo contribuye al campo de la optimización de trayectorias de vuelo al proponer un método que combina la reducción de dimensionalidad, la búsqueda eficiente de puntos y la aproximación de la función objetivo para hacer que el problema sea tratable mediante computación cuántica. Si bien la optimización cuántica para el problema completo con $N=53$ está fuera del alcance de las capacidades de sistemas actuales, los resultados obtenidos para $N=3$ y $N=6$ o sea el trabajo en 10 dimensiones, proporcionan información sobre la estructura del problema y sugieren que la computación cuántica podría ofrecer ventajas significativas para mayores dimensiones.

Justificación de la Investigación

La optimización de trayectorias de vuelo es un creciente campo de estudio en la industria aeronáutica, motivado por el aumento del transporte Aéreo y la necesidad de mitigar el impacto ambiental. En el presente se aborda la optimización de la trayectoria de ascenso de aeronaves, fase del vuelo con alto consumo de combustible y emisiones asociadas de gases de efecto invernadero. La investigación parte del problema propuesto en el Airbus

Quantum Computing Challenge” [1], que busca explorar soluciones mediante computación cuántica. Aunque desarrollado en un entorno académico, el trabajo posee aplicabilidad en la industria aeronáutica por tratar un problema operacional con implicaciones prácticas. La justificación para esta investigación incluye: la búsqueda de eficiencia en la aviación, el potencial de la computación cuántica para la optimización y la aportación al conocimiento en la convergencia de ambas disciplinas.

Necesidad de Eficiencia en la Aviación:

El consumo de combustible representa un componente principal de los costos operativos para las aerolíneas. Adicionalmente al factor económico, la combustión de dicho combustible genera emisiones de gases de efecto invernadero que contribuyen al cambio climático. La optimización de la trayectoria de ascenso permite minimizar el consumo de combustible, lo cual impacta la rentabilidad de las aerolíneas y la sostenibilidad medioambiental del sector aeronáutico. Una reducción en el consumo durante la fase de ascenso, incluso si es marginal por operación individual, al multiplicarse por el volumen global de vuelos se traduce en ahorros económicos agregados y en una disminución de la huella de carbono de la industria. Por consiguiente, la determinación de trayectorias de ascenso óptimas, sujeta a restricciones operativas y de seguridad, constituye una necesidad relevante para la aviación. Estudios como el de Alligier et al. [2] ilustran la aplicación de programación lineal entera mixta para la planificación robusta de vuelos ante la incertidumbre de las condiciones operacionales, lo que resalta la pertinencia de la optimización en contextos de aviación aplicada.

Potencial de la Computación Cuántica para la Optimización:

La optimización de trayectorias de vuelo constituye un problema de mucha complejidad, debido a la no linealidad de las ecuaciones de movimiento, la alta dimensionalidad del espacio de variables y la existencia de múltiples restricciones. Dichas características hacen que la optimización usando métodos clásicos sea poco viable y en ese punto la opción del uso de computación cuántica espera ser una alternativa, la utilidad de los algoritmos cuánticos radica en su potencial exploración de resultados en el espacio de soluciones de forma más óptima en comparación con los métodos clásicos, con el potencial de culminar el mismo trabajo de búsqueda de solución en tiempos humanamente razonables. Si bien la tecnología de computación cuántica se encuentra en etapas iniciales de desarrollo,

existe un potencial reconocido para la resolución de problemas de optimización complejos. Algoritmos como QAOA [17] y VQE [18] han mostrado capacidad en la resolución de problemas de optimización combinatoria, lo que sugiere vías para la optimización de trayectorias de vuelo. Se aborda la preparación del problema de optimización para su futura ejecución en computadoras cuánticas, en previsión del desarrollo de hardware con mayores capacidades.

Contribución al Conocimiento Científico:

Este trabajo contribuye al conocimiento científico al unir la optimización y la computación cuántica aplicada al sector aeronáutico. La reducción de complejidad del modelo matemático base de Airbus usando teoría matemática y la manipulación algebraica para el reconocimiento de variables libres, es un aporte de significativo que minimiza la dificultad del problema y lo torna más manejable para algoritmos de optimización tanto tradicionales como cuánticos. El decremento de la dimensionalidad de 364 a 104 variables no únicamente simplifica el problema, sino que también va en línea con su adecuación a las actuales restricciones de los computadores cuánticos. El sondeo de distintos algoritmos de muestreo, añadiendo la exploración de puntos cercanos y la utilización de secuencias de Sobol [23], facilita una apreciable perspectiva acerca de la efectividad y el alcance de distintas técnicas de exploración en dominios multidimensionales. El cálculo aproximado de la función objetivo a través de una función cuadrática binaria propicia para la optimización en D-Wave [27], significa un resultado metodológico que hace posible usar algoritmos cuánticos en un problema específico de la industria aeronáutica. La evaluación contrastada entre los algoritmos de optimización clásica y cuántica para distintas dimensiones del problema brinda conocimiento apreciable sobre la capacidad y la extensión posible de cada aproximación. Este trabajo establece un fundamento para indagaciones posteriores en el uso de la computación cuántica para la tarea de optimización de rutas de vuelo, conforme la tecnología cuántica evoluciona y se hace de mayor disponibilidad.

Capítulo 2

Mecánica de Vuelo y Aerodinámica

La mecánica de vuelo y la aerodinámica son conocimientos fundamentales en la comprensión del desplazamiento de las aeronaves en la atmósfera. Estas áreas son el soporte teórico para analizar, modelar y optimizar la trayectoria en las rutas de vuelo en cuanto a su uso de combustible, duración de vuelos y, en síntesis, todo elemento que afecte las capacidades operativas del avión. La comprensión específica de dichos temas resulta fundamental para ingenieros aeronáuticos, aviadores, supervisores de tráfico aéreo, administradores de operaciones y diversas especialidades en la industria de la aviación (cita).

La *aerodinámica* estudia el desplazamiento del aire y el efecto de las fuerzas sobre objetos que se mueven en él, en especial las aeronaves (cita). Por su parte, la *mecánica de vuelo* se orienta hacia las ecuaciones que describen el movimiento de las aeronaves, integrando las fuerzas generadas por la aerodinámica, el efecto de la gravedad, el empuje de los motores y las limitaciones propias de la operación. En el presente apartado se expone una perspectiva completa sobre las variables y ecuaciones de mayor relevancia, detallando cada una y su conexión con las prestaciones generales de la aeronave, así como las restricciones habituales que se manifiestan durante una misión típica de vuelo.

2.1. Conceptos Fundamentales de Aerodinámica

Flujo de Aire, Densidad y Presión

El vuelo de las aeronaves es su movimiento a través del aire y por ende las principales características del mismo como lo son densidad del aire ($\rho(Zp_i)$), la presión (p) y la

temperatura (T) afectan su desplazamiento. Estas varían con la altitud y son parámetros indispensables en los modelos teóricos atmosféricos estándar, como la Atmósfera Estándar Internacional (ISA, por sus siglas en inglés).

La densidad del aire $\rho(Zp_i)$ es especialmente relevante, ya que las fuerzas aerodinámicas, como la sustentación (L) y la resistencia (D), dependen de ella. La relación típica para la densidad atmosférica a diferentes altitudes, asumiendo un gradiente térmico lineal, es:

$$\rho(Zp_i) = \rho_0 \left(\frac{T}{T_0} \right)^{\alpha_0 - 1}, \quad (2.1)$$

donde ρ_0 es la densidad del aire al nivel del mar, T_0 la temperatura a nivel del mar, y α_0 es un exponente derivado de la relación entre la gravedad, el gas constante del aire R y el gradiente térmico L_Z . Este tipo de relación se deriva en condiciones atmosféricas estándar [?].

Velocidades Características: TAS, CAS y Mach

En el estudio de aeronaves existen múltiples definiciones de velocidad, cada una diseñada para captar diferentes aspectos aerodinámicos y de medición:

- **TAS (True Airspeed):** Es la velocidad real del avión con respecto al aire que lo rodea. Afecta directamente las fuerzas aerodinámicas.
- **CAS (Calibrated Airspeed):** Es la velocidad indicada corregida por errores instrumentales y de posición. Se aproxima a la IAS (Indicated Airspeed) pero con correcciones. La CAS es útil porque al combinarse con la densidad local permite estimar las fuerzas aerodinámicas de manera consistente.
- **Número de Mach (M):** Es la razón entre la velocidad del flujo (o la velocidad del avión) y la velocidad local del sonido a :

$$M = \frac{v_i}{a} = \frac{v_i}{\sqrt{\gamma RT}}, \quad (2.2)$$

donde γ es la razón de calores específicos del aire (≈ 1.4), R es la constante del gas para el aire, y T la temperatura local.

El número de Mach es crucial para determinar el régimen de vuelo: subsónico, transónico o supersónico, ya que las características aerodinámicas cambian drásticamente según este parámetro [?].

Fuerzas Aerodinámicas: Sustentación y Resistencia

La fuerza aerodinámica total sobre un ala o aeronave se puede descomponer en sustentación (L), perpendicular a la dirección del flujo, y resistencia (D), paralela a ella.

$$L = \frac{1}{2}\rho(Zp_i)v_i^2 S_{REF} C_L, \quad D = \frac{1}{2}\rho(Zp_i)v_i^2 S_{REF} C_D, \quad (2.3)$$

donde v_i puede ser la TAS, S_{REF} es el área de referencia aerodinámica, C_L es el coeficiente de sustentación y C_D el coeficiente de resistencia. Estos coeficientes dependen del ángulo de ataque, la forma del ala, la compresibilidad, la viscosidad del aire, entre otros factores. El coeficiente de sustentación C_L generalmente se incrementa con el ángulo de ataque hasta un valor máximo ($C_{L_{max}}$), mientras que el coeficiente de resistencia C_D aumenta con el ángulo de ataque y con la formación de estelas turbulentas. A menudo se representa la resistencia en función de C_L a través de la expresión aerodinámica:

$$C_D = C_{D_0} + kC_L^2, \quad (2.4)$$

donde C_{D_0} es la resistencia parasitaria mínima y k un factor que describe el crecimiento cuadrático de la resistencia inducida por sustentación [?].

2.2. Mecánica de Vuelo: Ecuaciones del Movimiento

Ecuación Básica de la Trayectoria

El movimiento de la aeronave en un plano vertical puede analizarse considerando un ángulo de ascenso γ_i , definido como el ángulo entre la trayectoria de vuelo y el eje horizontal. Si se asume simetría y vuelo coordinado, las fuerzas principales sobre el avión son: tracción o empuje ($F_{N_{MCL_i}}$), peso ($m_i g_0$), sustentación (L) y resistencia (D).

Para la componente de fuerzas a lo largo de la trayectoria, tenemos:

$$F_{N_{MCL_i}} \cos \alpha - D - m_i g_0 \sin \gamma_i = m_i \frac{dv_i}{dt}, \quad (2.5)$$

donde α es el ángulo entre el vector empuje y la trayectoria. Para la dirección perpendicular a la trayectoria:

$$L + F_{N_{MCL_i}} \sin \alpha - m_i g_0 \cos \gamma_i = m_i v_i \frac{d\gamma_i}{dt}. \quad (2.6)$$

Cuando el empuje se alinea aproximadamente con la dirección de vuelo, $\alpha \approx 0$, y simplificando las condiciones de ascenso, por ejemplo en régimen estable, las ecuaciones se simplifican [?, ?].

Masa y Consumo de Combustible

La masa de la aeronave (m_i) cambia durante el vuelo debido al consumo de combustible.

A una razón de consumo \dot{m}_f , la masa total del avión disminuye con el tiempo:

$$\frac{dm_i}{dt} = -\eta \lambda_i F_{N_{MCL_i}}, \quad (2.7)$$

La ecuación considera η como el consumo específico de combustible y λ_i como el factor de empuje, que varía entre 0 y 1. Esta relación lineal constituye una aproximación preliminar. La masa desempeña un papel esencial en la dinámica del sistema, ya que incide directamente en la sustentación requerida y en la capacidad de aceleración disponible.

Altitud, Velocidad Vertical y Alcance

A medida que el avión asciende a mayores altitudes (Z_{p_i}), disminuye la densidad del aire $\rho(Z_{p_i})$. Esto afecta la sustentación y la resistencia, así como también el empuje disponible en motores turbofan. Una ecuación típica para el incremento de altitud en función de la velocidad vertical $V z_i = v_i \sin \gamma_i$ es:

$$\frac{dZ_{p_i}}{dt} = v_i \sin \gamma_i. \quad (2.8)$$

El alcance horizontal durante un segmento de vuelo se obtiene de:

$$\frac{ds_i}{dt} = v_i \cos \gamma_i. \quad (2.9)$$

2.3. Variables de Estado y Control en la Mecánica de Vuelo

En mecánica de vuelo, las variables se dividen a menudo en:

- **Variables de Estado:** Aquellas que describen completamente el estado del sistema en un momento dado. Por ejemplo, la altitud (Zp_i), la velocidad (v_i), la masa (m_i), la distancia recorrida (s_i), el tiempo (t_i) y el ángulo de ascenso (γ_i).
- **Variables de Control:** Estas son las variables que el piloto o el sistema de control automático puede modificar. Por ejemplo, el empuje ($F_{N_{MCL_i}}$) o el factor de empuje (λ_i) que varía entre 0 y 1.

2.4. Limitaciones y Restricciones Operacionales

Límites de Velocidad

Las aeronaves tienen restricciones de velocidad para garantizar la seguridad estructural y el confort de los pasajeros. Dos restricciones comunes son:

- **VMO (Maximum Operating Velocity):** Límite máximo de velocidad calibrada. Por ejemplo:

$$CAS(v_i, Zp_i) \leq VMO. \quad (2.10)$$

- **MMO (Maximum Operating Mach):** Límite máximo de número de Mach:

$$M(v_i, Zp_i) \leq MMO. \quad (2.11)$$

Estos límites garantizan que el avión no sufra problemas estructurales o aerodinámicos como la aparición de ondas de choque intensas al superar el régimen de diseño.

Tasa Mínima de Ascenso

La aviación comercial exige tasas mínimas de ascenso, ya sea por estándares de seguridad o por requisitos operacionales. Por ejemplo:

$$v_i \sin \gamma_i \geq Vz_{\min}, \quad (2.12)$$

donde Vz_{\min} es la tasa mínima de ascenso requerida.

Límite en Coeficiente de Sustentación

El coeficiente de sustentación no puede superar un valor máximo antes de que el ala entre en pérdida:

$$Cz_i \leq Cz_{\max}. \quad (2.13)$$

Este límite impone restricciones en el ángulo de ataque y, en consecuencia, en la maniobrabilidad y capacidad de ascenso de la aeronave.

2.5. Estructura de Problemas de Optimización en Mecánica de Vuelo

Cuando se aborda la planificación del perfil de ascenso, se plantea un problema de optimización multivariable con restricciones. Los objetivos pueden incluir la minimización del consumo de combustible, la minimización del tiempo o una combinación de ambos mediante un índice de costo (CI , *Cost Index*), que es la relación entre el coste en combustible y el coste en tiempo.

El problema aquí tratado tiene la forma:

$$\min_{\text{control}} \phi = \text{consumo} + CI \times \text{tiempo}, \quad (2.14)$$

sujeito a las ecuaciones de movimiento, las limitaciones aerodinámicas y las restricciones operativas. Este tipo de problema es altamente no lineal.

2.6. Cálculo del Consumo y Tiempo

El cálculo del consumo total y del tiempo total de vuelo se realiza integrando las tasas correspondientes a lo largo de la trayectoria de ascenso. Utilizando las variables de estado y control definidas, se pueden establecer las siguientes relaciones:

Consumo de Combustible

El consumo de combustible se modela a través de la disminución de la masa de la aeronave (m_i) debido al consumo específico de combustible (η) y al empuje aplicado ($\lambda_i F_{N_{MCL_i}}$). La relación diferencial es:

$$\frac{dm_i}{dt} = -\eta \lambda_i F_{N_{MCL_i}}. \quad (2.15)$$

Integrando esta ecuación a lo largo de la trayectoria, se obtiene el consumo total de combustible:

$$\Delta m = \int_{t_0}^{t_F} \eta \lambda_i F_{N_{MCL_i}} dt. \quad (2.16)$$

Cálculo del Tiempo de Vuelo

El tiempo total de vuelo (t_F) se obtiene integrando la tasa de cambio del tiempo a lo largo de la trayectoria de ascenso. Dado que t_i representa el tiempo acumulado hasta el punto i , la relación diferencial es:

$$\frac{dt_i}{dt} = 1, \quad (2.17)$$

lo que implica:

$$t_F = t_0 + \int_0^{N-1} \frac{dt_i}{ds_i} ds_i. \quad (2.18)$$

Sin embargo, debido a la discretización del problema, el tiempo se puede aproximar mediante:

$$t_F = \sum_{i=0}^{N-2} \frac{t_{i+1} - t_i}{Zp_{i+1} - Zp_i} \Delta Zp_i, \quad (2.19)$$

donde $\Delta Zp_i = Zp_{i+1} - Zp_i$.

Integración en la Trayectoria

Dado que el problema está discretizado en N puntos, los consumos y tiempos se suman a lo largo de cada segmento de ascenso:

$$\text{Consumo Total} = \sum_{i=0}^{N-2} \eta \lambda_i F_{N_{MCL_i}} \Delta t_i, \quad (2.20)$$

$$\text{Tiempo Total} = \sum_{i=0}^{N-2} \Delta t_i. \quad (2.21)$$

Donde Δt_i es el tiempo transcurrido en el segmento i -ésimo, calculado a partir de la velocidad y el cambio de altitud.

2.7. Consideraciones Aerodinámicas Avanzadas

Compresibilidad y Número de Mach

Con el incremento de la altitud del avión (Zp_i), la temperatura disminuye y la velocidad del sonido se reduce. Si la aeronave vuela a velocidad constante en TAS (v_i), el número de Mach ($M(v_i, Zp_i)$) puede aumentar, llegando a regímenes transónicos. Esto induce cambios significativos en la distribución de presiones alrededor del ala, incrementando la resistencia de onda. Por ello, en vuelos a gran altitud, el límite de Mach suele ser más restrictivo que el límite de CAS.

Polar Aerodinámica y Eficiencia

La diferencia entre el coeficiente de resistencia y el coeficiente de sustentación determina la eficiencia aerodinámica. La relación L/D indica cuán eficaz es el ala en generar sustentación con respecto a la resistencia. Una alta eficiencia (L/D elevado) es deseable ya que reduce el consumo de combustible para una sustentación dada. Múltiples diseños de alas, perfiles aerodinámicos y dispositivos hipersustentadores buscan optimizar esta relación.

Empuje del Motor y su Variación con la Altitud

El empuje máximo disponible ($F_{N_{MCL_i}}(Zp_i)$), especialmente en motores turbofan, dismi-

nuye con la altitud debido a la menor densidad del aire y la menor masa de aire que ingresa en el motor. A su vez, el régimen de revoluciones y ajustes del motor permiten variar el empuje mediante el factor de empuje (λ_i) entre un valor mínimo y el máximo disponible. Conociendo la curva de empuje máximo ($F_{N_{MCL_i}}(Zp_i)$), se puede modelar la reducción de empuje disponible al ascender.

2.8. Unificación de Conceptos

La mecánica de vuelo y la aerodinámica se articulan en un sistema de ecuaciones y restricciones que rigen el comportamiento de una aeronave. El perfil de ascenso se define mediante los siguientes elementos:

1. Partida desde una altitud y velocidad iniciales determinadas ($Zp_I, v_0 = TAS(CAS_I, Zp_I)$).
2. Incremento de altitud mediante ajustes en el empuje y el ángulo de ascenso (λ_i, γ_i).
3. Mantenerse dentro de los límites de velocidad (CAS y Mach).
4. Asegurar una tasa mínima de ascenso (Vz_{\min}).
5. Controlar el coeficiente de sustentación para mantenerse dentro de Cz_{\max} .
6. Minimizar una función de coste que combina tiempo y consumo de combustible mediante el Cost Index (CI).

Este es el problema que se abordará en capítulos posteriores.

2.9. Ejemplo de Ecuaciones y Cálculos de Rendimiento

Consideremos un ejemplo simplificado: un avión a una altitud Zp_i con velocidad TAS v_i . El número de Mach vendrá dado por:

$$M(v_i, Zp_i) = \frac{v_i}{\sqrt{\gamma R(Ts_0 + L_Z Zp_i)}}, \quad (2.22)$$

donde T_{s_0} es la temperatura al nivel del mar y L_Z el gradiente térmico. La densidad a esa altitud:

$$\rho(Zp_i) = \rho_0 \left(\frac{T_{s_0} + L_Z Zp_i}{T_{s_0}} \right)^{\alpha_0 - 1}. \quad (2.23)$$

La sustentación requerida para equilibrar el peso en vuelo nivelado (ignorando empuje vertical):

$$L = m_i g_0 \approx \frac{1}{2} \rho(Zp_i) v_i^2 S_{REF} C_{z_i}. \quad (2.24)$$

Se puede resolver entonces para el coeficiente de sustentación como sigue:

$$C_{z_i} = \frac{2m_i g_0}{\rho(Zp_i) v_i^2 S_{REF}}. \quad (2.25)$$

Si se conoce C_{z_i} , el C_D se deduce a partir de la polar aerodinámica:

$$C_D = C_{D_0} + k C_{z_i}^2. \quad (2.26)$$

La resistencia resultante es:

$$D = \frac{1}{2} \rho(Zp_i) v_i^2 S_{REF} C_D. \quad (2.27)$$

Finalmente, el empuje requerido para vuelo recto y nivelado es igual a la resistencia:

$$F_{NMCL_i} = D. \quad (2.28)$$

Para lograr el ascenso, el empuje debe superar la suma de la resistencia y la componente del peso paralela a la trayectoria.

$$F_{NMCL_i} - D = m_i g_0 \sin \gamma_i. \quad (2.29)$$

Al incorporar el consumo de combustible:

$$\frac{dm_i}{dt} = -\eta \lambda_i F_{NMCL_i}. \quad (2.30)$$

Con estas ecuaciones, se forman sistemas diferenciales que describen la evolución de v_i ,

m_i , Zp_i , s_i y γ_i con el tiempo, sujetos a las restricciones de velocidad, coeficientes y empuje máximo.

2.10. Estrategias de Optimización y Herramientas Matemáticas

El proceso de encontrar una trayectoria óptima que minimice el consumo más el coste en tiempo es complejo.

Entre las estrategias consideradas figuran:

- Procedimientos de control para optimización, como el principio del máximo de Pontryagin [?], que utilizan funciones de costo y multiplicadores de Lagrange.
- Métodos numéricos numéricos de programación no lineal (NLP), destinadas a la solución de sistemas de ecuaciones con restricciones.
- Aproximaciones metaheurísticas (por ejemplo, algoritmos genéticos u optimización por enjambre de partículas entre otros) para problemas cuya estructura dificulta la aplicación de métodos de solución directa.
- Métodos híbridos (potencialmente completamente cuánticos a futuro), aprovechando la capacidad de la computación cuántica para acelerar partes de la optimización.

2.11. Importancia Práctica

La comprensión de estas variables y ecuaciones posee una relevancia que excede el dominio puramente conceptual. En la operación aeronáutica, la determinación de perfiles de ascenso por parte de pilotos y sistemas de gestión de vuelo (FMS) es necesaria para la minimización del consumo de combustible y la contención de costos. Esta determinación debe realizarse además en conformidad con las directrices del control de tráfico aéreo (ATC) y los protocolos ambientales vigentes. El manejo de la trayectoria durante el ascenso presenta una importancia acentuada en operaciones de corto radio. En estas, la proporción del tiempo total de vuelo correspondiente a las fases de ascenso y descenso supera a la de los vuelos de largo trayecto. En consecuencia, la reducción del consumo de combustible en dichas fases ejerce una influencia sobre la economía del operador aéreo.

Capítulo 3

Teorema de la Función Implícita

En el análisis matemático, a menudo encontramos ecuaciones que relacionan dos o más variables. Algunas veces, estas ecuaciones pueden ser manipuladas algebraicamente para expresar una variable explícitamente como función de las otras. Sin embargo, hay situaciones donde tal manipulación resulta impráctica, o incluso imposible. En estos casos, surge la noción de función implícita, y con ella, la necesidad de herramientas que permitan comprender y trabajar con estas relaciones indirectas. Entre estas herramientas, el Teorema de la Función Implícita ocupa un lugar central [?].

El Teorema proporciona un conjunto de condiciones bajo las cuales una ecuación que involucra múltiples variables define, al menos localmente, una o más de esas variables como función implícita de las restantes. Su importancia radica no solo en su capacidad para establecer la existencia de estas funciones implícitas, sino también en la información que proporciona sobre sus propiedades, como la diferenciabilidad [?].

3.1. Funciones Implícitas

Conceptos:

Previo al análisis del Teorema, se define el concepto de función implícita como sigue:

Se considera una ecuación que vincula las variables x e y mediante la relación $F(x, y) = 0$, donde F denota una función de dos variables. En algunas situaciones, es factible despejar y como función de x , obteniendo una expresión $y = g(x)$. Esta expresión determina y en términos de x [?].

Sin embargo, existen ecuaciones donde tal despeje de y no se logra de manera directa o

global. Por ejemplo la ecuación $x^2 + y^2 - 1 = 0$, si bien se derivan dos soluciones para y , a saber, $y = \sqrt{1 - x^2}$ e $y = -\sqrt{1 - x^2}$, cada una de ellas corresponde únicamente a un segmento del círculo unitario representado por la ecuación $F(x, y) = 0$. Este escenario introduce la necesidad del concepto de función implícita. Aunque no es posible expresar y como una única función explícita de x para todos los puntos que satisfacen la ecuación, es posible considerar que la ecuación $F(x, y) = 0$ define a y implícitamente como función de x , al menos en un entorno local alrededor de un punto dado (x_0, y_0) que satisface la ecuación.

Intuitivamente es posible pensar que cerca del punto (x_0, y_0) , existe una función $y = g(x)$ cuya gráfica coincide con la curva definida por la ecuación $F(x, y) = 0$. Esta función $g(x)$ es la función implícita que la ecuación define localmente [?].

3.2. El Teorema de la Función Implícita

El Teorema proporciona las condiciones precisas bajo las cuales es posible afirmar la existencia de esta función implícita $g(x)$. Formalmente, el teorema puede presentarse así:

Teorema de la Función Implícita (caso de dos variables):

Sea $F(x, y)$ una función con dos variables, y sea (x_0, y_0) un punto tal que $F(x_0, y_0) = 0$.

Supongamos que:

1. F es continuamente diferenciable en una vecindad del punto (x_0, y_0) . Esto significa que las derivadas parciales $\frac{\partial F}{\partial x}$ y $\frac{\partial F}{\partial y}$ existen y son continuas en un entorno del punto [?].
2. La derivada parcial de F con respecto a y evaluada en (x_0, y_0) es no nula, es decir, $\frac{\partial F}{\partial y}(x_0, y_0) \neq 0$.

Entonces, existen intervalos abiertos I y J que contienen a x_0 e y_0 , respectivamente, y una única función $g : I \rightarrow J$ tal que:

- $g(x_0) = y_0$
- $F(x, g(x)) = 0$ para todo x en el intervalo I .

Además, la función g es diferenciable en I , y su derivada puede calcularse como:

$$g'(x) = -\frac{\frac{\partial F}{\partial x}(x, g(x))}{\frac{\partial F}{\partial y}(x, g(x))}$$

[?].

3.3. Análisis de las Condiciones

Las condiciones del Teorema no son arbitrarias; cada una juega un papel crucial para garantizar la existencia y unicidad de la función implícita $g(x)$. La importancia de su significado:

1. Continuidad de las Derivadas Parciales:

La condición de que F sea continuamente diferenciable en una vecindad de (x_0, y_0) asegura que la superficie definida por $F(x, y)$ sea suave cerca de ese punto. Esta suavidad es esencial para poder aproximar localmente la superficie mediante un plano tangente, concepto fundamental para la diferenciación implícita [?].

2. Derivada Parcial con respecto a y no nula:

Esta condición es el corazón del Teorema. Intuitivamente, $\frac{\partial F}{\partial y}(x_0, y_0) \neq 0$ implica que la superficie definida por $F(x, y)$ no es "vertical" en el punto (x_0, y_0) con respecto al eje y . Si fuera vertical, un pequeño cambio en x podría corresponder a múltiples valores de y , violando la unicidad de la función implícita.

Geométricamente, esta condición garantiza que el plano tangente a la superficie en (x_0, y_0) no es paralelo al eje y . Esto permite "proyectar" la curva definida por $F(x, y) = 0$ sobre el eje x en una vecindad de (x_0, y_0) , obteniendo así la gráfica de una función $y = g(x)$ [?].

3.4. El rol del Jacobiano

Aunque en el caso de dos variables el jacobiano se reduce a la derivada parcial $\frac{\partial F}{\partial y}$, su importancia se manifiesta plenamente cuando extendemos el Teorema a funciones con más variables.

El jacobiano, en general, es una matriz formada por las derivadas parciales de una función vectorial. En el presente contexto, se considera una función $F(x_1, x_2, \dots, x_n, y) = 0$, el jacobiano de interés es el determinante de la matriz formada por las derivadas parciales de F con respecto a las variables que se quiere considerar como implícitas (en este caso, solo y).

El requisito de que este jacobiano sea no nulo en el punto en cuestión generaliza la condición $\frac{\partial F}{\partial y}(x_0, y_0) \neq 0$ al caso de múltiples variables. Asegura que, localmente, la ecuación $F(x_1, x_2, \dots, x_n, y) = 0$ define a y como una función implícita de las variables x_1, x_2, \dots, x_n [?].

3.5. Generalización a Múltiples Variables y Ecuaciones

El Teorema puede generalizarse a sistemas de ecuaciones y funciones con múltiples variables. Supongamos que tenemos un sistema de m ecuaciones con $n + m$ variables:

$$\begin{aligned} F_1(x_1, \dots, x_n, y_1, \dots, y_m) &= 0 \\ F_2(x_1, \dots, x_n, y_1, \dots, y_m) &= 0 \\ &\vdots \\ F_m(x_1, \dots, x_n, y_1, \dots, y_m) &= 0 \end{aligned}$$

Queremos saber si este sistema define implícitamente a las variables y_1, \dots, y_m como funciones de las variables x_1, \dots, x_n en una vecindad de un punto $(x_1^0, \dots, x_n^0, y_1^0, \dots, y_m^0)$ que satisface el sistema.

En este caso, el jacobiano relevante es el determinante de la matriz $m \times m$ formada por las derivadas parciales de las funciones F_1, \dots, F_m con respecto a las variables y_1, \dots, y_m :

$$J = \begin{vmatrix} \frac{\partial F_1}{\partial y_1} & \frac{\partial F_1}{\partial y_2} & \dots & \frac{\partial F_1}{\partial y_m} \\ \frac{\partial F_2}{\partial y_1} & \frac{\partial F_2}{\partial y_2} & \dots & \frac{\partial F_2}{\partial y_m} \\ \vdots & \vdots & \ddots & \vdots \\ \frac{\partial F_m}{\partial y_1} & \frac{\partial F_m}{\partial y_2} & \dots & \frac{\partial F_m}{\partial y_m} \end{vmatrix}$$

El Teorema de la Función Implícita para este caso generalizado establece que si todas las funciones F_i son continuamente diferenciables en una vecindad del punto, y el jacobiano J evaluado en el punto es no nulo, entonces el sistema define implícitamente a y_1, \dots, y_m como funciones de x_1, \dots, x_n en una vecindad del punto. Además, estas funciones implícitas son diferenciables, y sus derivadas pueden calcularse usando la regla de la cadena y la inversa del jacobiano [?].

Ejemplo Ilustrativo

Para anclar ideas, se plantea nuevamente la ecuación que define un círculo unitario:

$$F(x, y) = x^2 + y^2 - 1 = 0$$

Tomemos el punto $\left(\frac{\sqrt{2}}{2}, \frac{\sqrt{2}}{2}\right)$ que satisface la ecuación.

Las derivadas parciales son:

$$\frac{\partial F}{\partial x} = 2x$$

$$\frac{\partial F}{\partial y} = 2y$$

Evaluando en el punto, se tiene:

$$\frac{\partial F}{\partial x} \left(\frac{\sqrt{2}}{2}, \frac{\sqrt{2}}{2} \right) = \sqrt{2}$$

$$\frac{\partial F}{\partial y} \left(\frac{\sqrt{2}}{2}, \frac{\sqrt{2}}{2} \right) = \sqrt{2} \neq 0$$

Como la derivada parcial con respecto a y es no nula, el Teorema garantiza existencia de una función $y = g(x)$ definida implícitamente por la ecuación en una vecindad de $\left(\frac{\sqrt{2}}{2}, \frac{\sqrt{2}}{2}\right)$. Además, es posible calcular la derivada de $g(x)$:

$$g'(x) = -\frac{2x}{2y} = -\frac{x}{y}$$

Evaluando en el punto $x_0 = \frac{\sqrt{2}}{2}$, y considerando que $y_0 = g(x_0) = \frac{\sqrt{2}}{2}$, obtenemos:

$$g' \left(\frac{\sqrt{2}}{2} \right) = -\frac{\frac{\sqrt{2}}{2}}{\frac{\sqrt{2}}{2}} = -1$$

3.6. Aplicaciones e Importancia

Entre las aplicaciones del Teorema de la Función Implícita se encuentran:

- **Cálculo de Derivadas:** Obtención de derivadas para funciones definidas implícitamente, sin requerir la explicitación funcional [?].
- **Análisis Geométrico Diferencial:** Estudio local de curvas y superficies (determinación de espacios tangentes, vectores normales, curvatura) especificadas mediante

ecuaciones que relacionan sus coordenadas [?].

- **Optimización con Restricciones:** Análisis de problemas de optimización donde las condiciones de restricción se formulan como ecuaciones implícitas [?].
- **Modelización Económica:** Descripción y análisis de relaciones funcionales entre variables definidas a través de sistemas de ecuaciones, como en la teoría del equilibrio general[?].
- **Ingeniería y Ciencias Físicas:** Formulación y estudio de sistemas (e.g., mecánicos, eléctricos, de control) en los que las variables de estado o parámetros se vinculan a través de ecuaciones implícitas [?].

Capítulo 4

Optimización y Métodos de muestreo

En este capítulo, se describen los métodos de optimización y muestreo empleados en este trabajo para abordar el problema de la optimización de la trayectoria de ascenso de aeronaves. La optimización es una rama fundamental de las matemáticas y la informática [?, ?] que busca encontrar la mejor solución a un problema, generalmente minimizando o maximizando una función objetivo sujeta a ciertas restricciones [?]. El muestreo, por otro lado, se refiere a las técnicas utilizadas para seleccionar un subconjunto de puntos de un espacio de búsqueda, con el objetivo de obtener información representativa sobre la función objetivo en ese espacio [?, ?].

El problema de optimización de la trayectoria de ascenso, tal como se plantea en este estudio, es complejo debido a la no linealidad de las ecuaciones de movimiento, la alta dimensionalidad del espacio de búsqueda y la presencia de múltiples restricciones [?]. Para enfrentar estos desafíos, se han explorado varios métodos de optimización y muestreo.

En las siguientes secciones, se describen en detalle tres métodos de optimización: Nelder-Mead, Evolución Diferencial y `gp_minimize` de la biblioteca `skopt`. Además, se exponen los métodos de muestreo utilizados en este trabajo: muestreo basado en hexágonos, muestreo aleatorio con perturbaciones gaussianas, búsqueda de puntos adyacentes y muestreo basado en secuencias de Sobol. Para cada método, se describen sus fundamentos, ventajas y desventajas, y su aplicabilidad al problema de optimización de la trayectoria de ascenso.

4.1. Métodos de Optimización

Nelder-Mead

El método Nelder-Mead, también conocido como método simplex, es un algoritmo de optimización numérica que no requiere el cálculo de gradientes. Fue propuesto por John Nelder y Roger Mead en 1965 [?]. Este método es particularmente útil para problemas donde la función objetivo no es diferenciable o su gradiente es difícil de calcular.

Fundamento Teórico

Nelder-Mead opera en un espacio de búsqueda n-dimensional utilizando un simplex, que es un politopo con n+1 vértices. Cada iteración comprende la evaluación de la función objetivo en los puntos que constituyen los vértices del simplex. A partir de esta evaluación se determina el vértice a ser sustituido, lo cual se efectúa a través de transformaciones geométricas. Estas transformaciones incluyen:

- **Reflexión:** Se refleja el peor vértice a través del centroide de los vértices restantes. Matemáticamente, si x_{worst} es el peor vértice y x_{centroid} es el centroide, la reflexión se define como:

$$x_{\text{reflected}} = x_{\text{centroid}} + \alpha(x_{\text{centroid}} - x_{\text{worst}})$$

donde α es el factor de reflexión, típicamente $\alpha = 1$.

- **Expansión:** Si la reflexión produce un punto mejor que el mejor vértice actual, se expande el simplex en esa dirección. La expansión se calcula como:

$$x_{\text{expanded}} = x_{\text{centroid}} + \gamma(x_{\text{reflected}} - x_{\text{centroid}})$$

donde $\gamma > 1$ es el factor de expansión.

- **Contracción:** Si la reflexión produce un punto peor que el segundo peor vértice, se contrae el simplex en esa dirección. La contracción se define como:

$$x_{\text{contracted}} = x_{\text{centroid}} + \beta(x_{\text{worst}} - x_{\text{centroid}})$$

donde $0 < \beta < 1$ es el factor de contracción.

- **Reducción:** Si ninguno de los pasos anteriores mejora la solución, se reduce el simplex hacia el mejor vértice. La reducción se realiza mediante:

$$x'_i = x_{\text{best}} + \delta(x_i - x_{\text{best}}) \quad \forall i \neq \text{best}$$

donde $0 < \delta < 1$ es el factor de reducción.

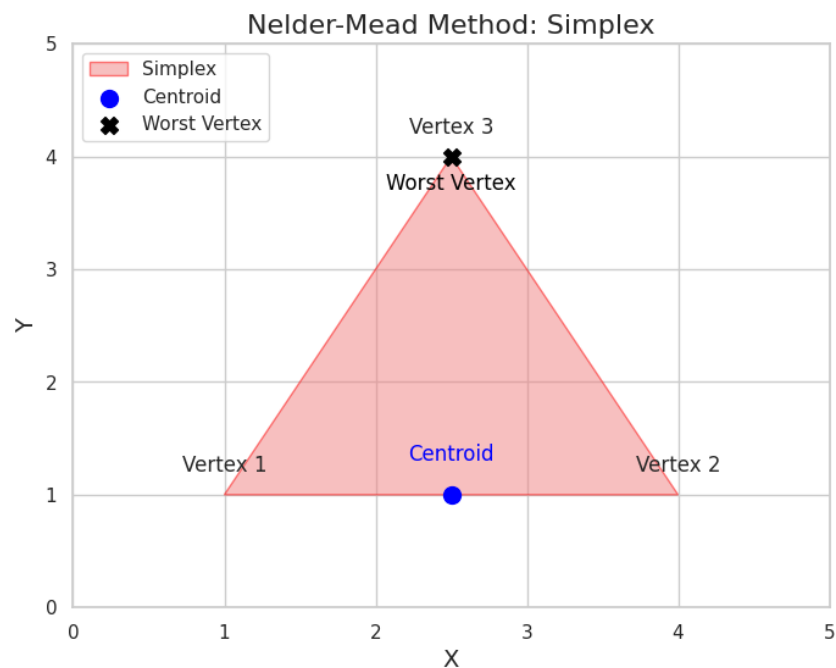


Figura 4.1: Representación gráfica del método Nelder-Mead utilizando un simplex en un espacio bidimensional.

El proceso iterativo concluye al satisfacerse un criterio de convergencia, como puede ser que la magnitud del simplex descienda por debajo de un umbral o que la diferencia entre los valores de la función objetivo en los vértices no exceda una tolerancia. [?].

Ventajas y Desventajas

Las principales ventajas de Nelder-Mead son:

- **Simplicidad:** Es fácil de implementar y entender.
- **No requiere gradientes:** Es aplicable a funciones no diferenciables o con gradientes costosos de calcular.

- **Robustez:** Es relativamente robusto a la presencia de ruido en la función objetivo.

El método Nelder-Mead exhibe ciertas características que pueden constituir limitaciones en su aplicación:

- **Velocidad de Convergencia:** Manifestación de una tasa de convergencia reducida, fenómeno acentuado en problemas con alta dimensionalidad.
- **Sensibilidad a la configuración inicial:** Depende del desempeño del algoritmo respecto a la geometría (forma y tamaño) del simplex inicial seleccionado.
- **Estancamientos Locales:** Posibilidad de estancamiento de la búsqueda en puntos correspondientes a mínimos locales del espacio de soluciones.

Evolución Diferencial

La Evolución Diferencial (DE) es un algoritmo de optimización global basado en poblaciones, propuesto por Rainer Storn y Kenneth Price en 1997 [?]. Pertenece a la familia de los algoritmos evolutivos y es conocido por su eficiencia y robustez en la resolución de problemas de optimización no lineales y no convexos.

Fundamento Teórico

DE opera sobre una población de individuos, donde cada individuo representa una solución candidata. En cada generación, el algoritmo realiza los siguientes pasos:

1. **Mutación:** Para cada individuo (llamado "individuo objetivo"), se genera un individuo mutante mediante la combinación lineal de otros individuos seleccionados aleatoriamente de la población. La generación del vector donante v_i se efectúa mediante la Ecuación

$$v_i = x_{r1} + F \cdot (x_{r2} - x_{r3}) \quad (4.1)$$

donde v_i es el individuo mutante, x_{r1} , x_{r2} y x_{r3} son individuos seleccionados aleatoriamente y F es un factor de escala que controla la amplitud de la mutación.

2. **Cruce:** Se combina el individuo mutante con el individuo objetivo para generar un individuo de prueba. El cruce se realiza generalmente mediante un operador de cruce binomial, donde cada componente del individuo de prueba se hereda del individuo mutante con una cierta probabilidad CR , y del individuo objetivo con probabilidad $1 - CR$.

$$u_{i,j} = \begin{cases} v_{i,j} & \text{si } \text{rand}_j(0, 1) \leq CR \\ x_{i,j} & \text{de lo contrario} \end{cases}$$

donde $u_{i,j}$ es el j -ésimo componente del individuo de prueba, $v_{i,j}$ es el j -ésimo componente del individuo mutante, y $x_{i,j}$ es el j -ésimo componente del individuo objetivo.

3. **Selección:** Se evalúa la función objetivo para el individuo de prueba y se compara con el individuo objetivo. Si el individuo de prueba tiene un mejor valor de la función objetivo, reemplaza al individuo objetivo en la siguiente generación. De lo contrario, el individuo objetivo se mantiene.

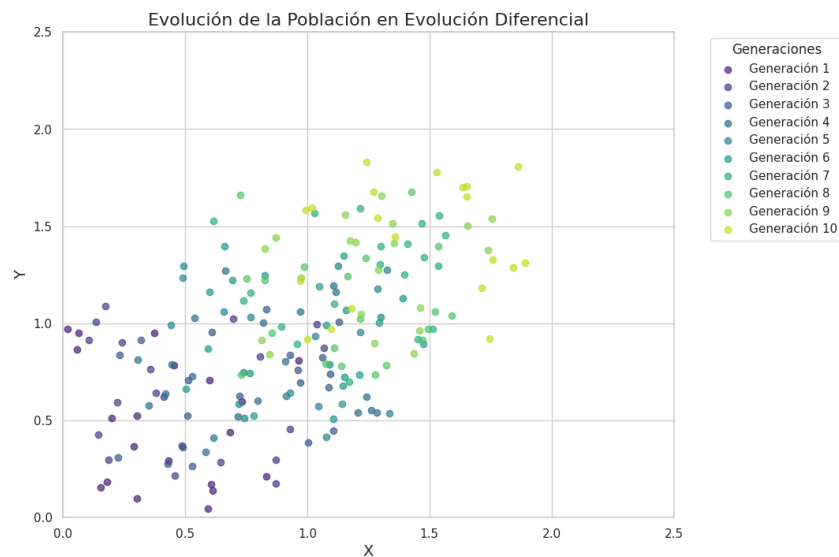


Figura 4.2: Evolución de la población en el algoritmo de Evolución Diferencial.

El proceso se repite hasta que se alcanza un número máximo de generaciones o se cumple un criterio de convergencia [?].

Ventajas y Desventajas

Las principales ventajas de la Evolución Diferencial son:

- **Eficiencia:** Es un algoritmo relativamente rápido y eficiente, especialmente en problemas de alta dimensionalidad.
- **Robustez:** Es robusto a la presencia de ruido y a la forma de la función objetivo.
- **Facilidad de implementación:** Es relativamente fácil de implementar y tiene pocos parámetros de ajuste.

Sin embargo, DE también presenta algunas desventajas:

- **Dependencia del kernel:** El rendimiento presenta dependencia respecto a la selección del kernel del GP.
- **Escalabilidad limitada:** La escalabilidad para problemas de dimensionalidad muy elevada puede verse limitada por el costo computacional asociado al ajuste del GP.

4.2. Métodos de Muestreo

El muestreo constituye una componente relevante del proceso de optimización, en particular para funciones objetivo de alta dimensionalidad o complejidad elevada. Un método de muestreo apropiado debe permitir la exploración eficiente del espacio de soluciones y generar una representación fidedigna de la función objetivo. En esta sección se describen cuatro métodos de muestreo empleados en este estudio.

Muestreo Basado en Hexágonos

El muestreo basado en hexágonos constituye un método determinista cuyo objetivo es la cobertura uniforme del dominio de búsqueda mediante una teselación hexagonal. La selección de esta geometría se fundamenta en la propiedad del hexágono de posibilitar el empaquetamiento de círculos más denso en el plano bidimensional. Esta característica implica, en principio, una mayor densidad de cobertura espacial respecto a cuadrículas cartesianas estándar.

Fundamento Teórico

Para un dominio bidimensional, los puntos de muestreo se disponen en los vértices y centros de los hexágonos regulares que conforman la teselación del área de interés. La posición de los puntos puede especificarse mediante coordenadas axiales (q, r) , las cuales se transforman a coordenadas cartesianas (x, y) a través de las siguientes expresiones:

$$x = \text{width} \cdot (q \cdot 1,5) \quad (4.2)$$

$$y = \text{height} \cdot (r \cdot 2 + q) \quad (4.3)$$

$$x = \text{width} \cdot (q \cdot 1,5) \quad (4.4)$$

$$y = \text{height} \cdot (r \cdot 2 + q) \quad (4.5)$$

donde *width* y *height* son el ancho y alto del hexágono, respectivamente.

Para generar una grilla hexagonal, se parte de un hexágono inicial y se generan iterativamente sus vecinos en todas las direcciones. Los vecinos de un hexágono con coordenadas (q, r) se pueden obtener añadiendo los siguientes desplazamientos:

$$(1, 0), (1, -1), (0, -1), (-1, 0), (-1, 1), (0, 1) \quad (4.6)$$

Este proceso se repite hasta que se cubre el área de interés o se alcanza un número máximo de puntos de muestreo.

Ventajas y Desventajas

Las principales ventajas del muestreo basado en hexágonos son:

- **Uniformidad:** Proporciona una cobertura uniforme del espacio de búsqueda.
- **Eficiencia:** Es más eficiente que una grilla cuadrada en términos de la densidad de puntos de muestreo.

- **Estructura regular:** La estructura regular de la grilla hexagonal puede ser ventajosa para ciertos algoritmos de optimización o análisis.

Sin embargo, este método también tiene algunas desventajas:

- **Complejidad de implementación:** La generación de la grilla hexagonal y la gestión de los vecinos puede ser más compleja que en una grilla cuadrada.
- **Limitado a dos dimensiones:** La extensión a dimensiones superiores no es trivial y puede no ser tan eficiente como en el caso bidimensional.
- **Bordes irregulares:** La cobertura del espacio de búsqueda puede ser irregular en los bordes, dependiendo de la forma del área de interés.

Aplicabilidad al Problema de Optimización de la Trayectoria de Ascenso

El muestreo basado en hexágonos se utilizó en las etapas iniciales de este trabajo para explorar el espacio de existencia de la función en dos dimensiones (por ejemplo, velocidad y ángulo de ascenso). Proporcionó una buena visualización de la función objetivo y permitió identificar regiones promisorias para la optimización. Sin embargo, su aplicabilidad a dimensiones superiores es limitada, y su complejidad de implementación motivó la exploración de otros métodos de muestreo más versátiles.

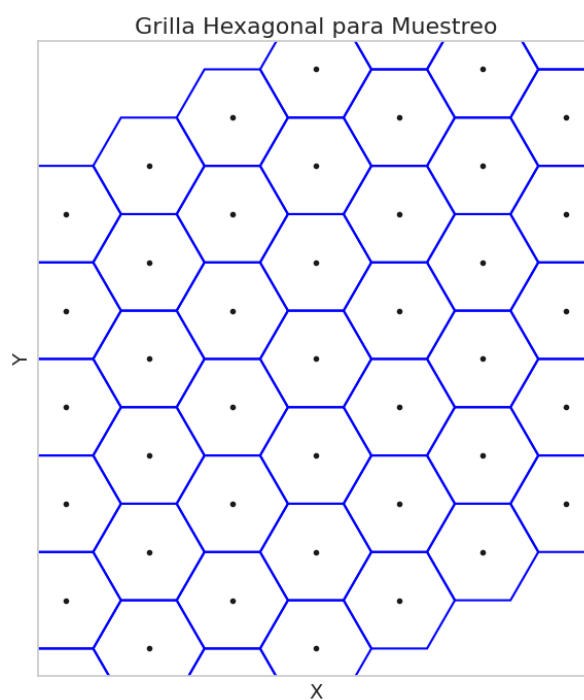


Figura 4.3: Grilla hexagonal utilizada para el muestreo basado en hexágonos.

Muestreo Aleatorio con Perturbaciones Gaussianas

El muestreo aleatorio con perturbaciones gaussianas es un método estocástico que genera nuevos puntos de muestreo a partir de un punto existente, añadiendo perturbaciones aleatorias que siguen una distribución normal (gaussiana).

Fundamento Teórico

Dado un punto x en un espacio n -dimensional, se genera un nuevo punto x' mediante la siguiente fórmula:

$$x' = x + \mathcal{N}(\mu, \sigma^2) \quad (4.7)$$

donde $\mathcal{N}(\mu, \sigma^2)$ representa una distribución normal con media μ y varianza σ^2 . Generalmente, se utiliza una media de cero ($\mu = 0$) y una desviación estándar σ que controla la magnitud de las perturbaciones.

El proceso de generación de nuevos puntos se puede repetir múltiples veces, partiendo de un punto inicial o de un conjunto de puntos previamente muestreados. Además, se pueden introducir criterios de aceptación o rechazo de los nuevos puntos basados en el valor de la función objetivo o en restricciones del problema.

Ventajas y Desventajas

Las principales ventajas del muestreo aleatorio con perturbaciones gaussianas son:

- **Simplicidad:** Es un método muy simple de implementar y entender.
- **Flexibilidad:** Se puede adaptar fácilmente a diferentes espacios de búsqueda y restricciones.
- **Eficiencia computacional:** La generación de nuevos puntos es computacionalmente económica.

Sin embargo, este método también tiene algunas desventajas:

- **No uniformidad:** El muestreo no es uniforme y puede resultar en una cobertura desigual del espacio de búsqueda.

- **Dependencia del punto inicial:** La exploración puede estar sesgada hacia la región donde se encuentra el punto inicial.
- **Dificultad para escapar de mínimos locales:** Si la desviación estándar de las perturbaciones es pequeña, el método puede tener dificultades para escapar de mínimos locales.

Aplicabilidad al Problema de Optimización de la Trayectoria de Ascenso

El muestreo aleatorio con perturbaciones gaussianas se utilizó en este trabajo como una forma rápida de generar puntos de prueba alrededor de soluciones prometedoras. Su simplicidad y eficiencia computacional lo hacen adecuado para una exploración inicial. Sin embargo, su falta de uniformidad y su dependencia del punto inicial limitan su efectividad como método principal de muestreo, especialmente para la aproximación de la función objetivo en altas dimensiones.

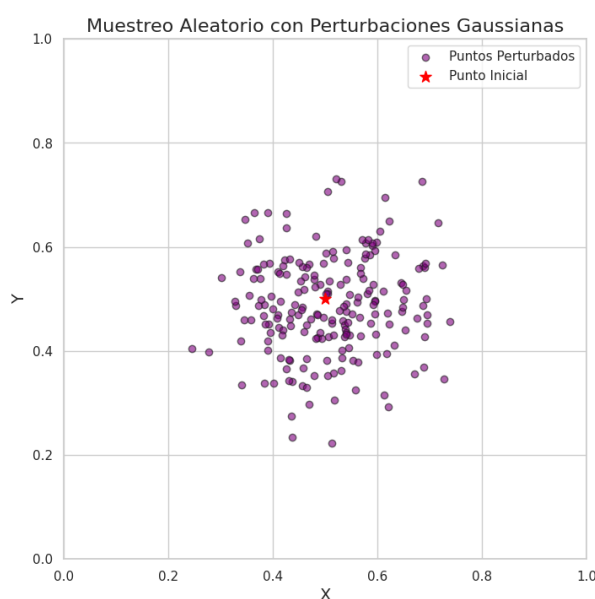


Figura 4.4: Muestreo aleatorio con perturbaciones gaussianas alrededor de un punto inicial.

Búsqueda de Puntos Adyacentes

La búsqueda de puntos adyacentes es un método iterativo que explora el espacio de soluciones generando y evaluando puntos vecinos a un conjunto de puntos previamente seleccionados. Este método se basa en la idea de que los puntos cercanos a una solución

válida tienen una mayor probabilidad de ser también soluciones válidas o de proporcionar información útil sobre la función objetivo.

Fundamento Teórico

El algoritmo de búsqueda de puntos adyacentes se puede describir de la siguiente manera:

1. Se parte de un conjunto inicial de puntos, que pueden ser generados aleatoriamente o mediante algún otro método de muestreo.
2. Para cada punto en el conjunto actual, se generan sus vecinos. Los vecinos se definen como aquellos puntos que se encuentran a una cierta distancia del punto original, generalmente a lo largo de las direcciones de los ejes coordenados.
3. Se evalúa la función objetivo en cada uno de los puntos vecinos generados.
4. Los puntos vecinos que cumplen con los criterios de aceptación (por ejemplo, que el valor de la función objetivo esté dentro de un rango determinado o que satisfagan las restricciones del problema) se añaden a un nuevo conjunto de puntos.
5. Se repiten los pasos 2-4 utilizando el nuevo conjunto de puntos como punto de partida, hasta que se alcanza un número máximo de iteraciones o se cumple algún otro criterio de parada.

En este trabajo, se introdujeron dos parámetros adicionales para controlar la búsqueda:

- **mp (Preferencia Marginal):** Controla la preferencia por explorar puntos vecinos de aquellos puntos que han sido previamente rechazados. Un valor de $mp = 0$ indica que no hay preferencia, mientras que un valor de $mp = 1$ indica una preferencia absoluta por los vecinos de puntos rechazados. Valores intermedios de mp permiten un balance entre la exploración de nuevas regiones y la explotación de regiones cercanas a puntos rechazados.
- **mr (Preferencia de Radio):** Controla la preferencia por explorar puntos más alejados de un punto de referencia. Un valor de $mr = 0$ indica que no hay preferencia, mientras que un valor de $mr = 1$ indica una preferencia absoluta por los puntos más alejados. Valores intermedios de mr permiten un balance entre la exploración local y la exploración global.

Ventajas y Desventajas

Las principales ventajas de la búsqueda de puntos adyacentes son:

- **Simplicidad:** Es un método conceptualmente simple y fácil de implementar.
- **Adaptabilidad:** Se puede adaptar a diferentes espacios de búsqueda y restricciones mediante la definición adecuada de la vecindad y los criterios de aceptación.
- **Control sobre la exploración:** Los parámetros mp y mr permiten controlar el balance entre la exploración local y global.

Sin embargo, este método también tiene algunas desventajas:

- **Costo computacional:** El número de vecinos a evaluar puede crecer exponencialmente con la dimensión del espacio de búsqueda.
- **Dependencia de la definición de vecindad:** La eficiencia y efectividad del método pueden depender fuertemente de la definición de la vecindad y de los parámetros mp y mr .
- **Limitaciones en la cobertura:** A pesar de la introducción de los parámetros mp y mr , el método puede tener dificultades para cubrir uniformemente todo el espacio de búsqueda, especialmente en altas dimensiones.

Aplicabilidad al Problema de Optimización de la Trayectoria de Ascenso

La búsqueda de puntos adyacentes se utilizó en este trabajo como un método para generar un conjunto de puntos válidos para la aproximación de la función objetivo. Su simplicidad y adaptabilidad permitieron explorar eficientemente el espacio de soluciones en torno a puntos iniciales prometedores. Los parámetros mp y mr se ajustaron para equilibrar la exploración local y global, y se encontró que una combinación de valores extremos ($mp = 0, mr = 0$ y $mp = 1, mr = 1$) producía los mejores resultados en términos de cobertura y eficiencia.

Sin embargo, el costo computacional de generar y evaluar todos los vecinos se volvió prohibitivo al aumentar la dimensionalidad del problema. Para $N=53$, el número de vecinos a evaluar en cada iteración sería del orden de 3^{104} , lo que hace que el método sea inviable para este caso.

Muestreo basado en secuencias de Sobol

El muestreo basado en secuencias de Sobol es un método cuasi-aleatorio que genera puntos de muestreo de baja discrepancia, lo que significa que están distribuidos de manera más uniforme en el espacio de búsqueda en comparación con un muestreo aleatorio simple. Las secuencias de Sobol son un tipo específico de secuencias de baja discrepancia que se construyen utilizando una base de 2 y permutaciones cuidadosamente elegidas de los bits de los enteros.

Fundamento Teórico

Las secuencias de Sobol se basan en la idea de generar una secuencia de puntos en un hipercubo unitario $[0, 1]^d$ de tal manera que la discrepancia entre la distribución empírica de los puntos y la distribución uniforme sea lo más baja posible. La discrepancia es una medida de la uniformidad de una distribución de puntos y se define como la máxima diferencia absoluta entre el volumen de una región rectangular y la fracción de puntos que caen en esa región.

La construcción de las secuencias de Sobol se realiza de forma recursiva, utilizando una serie de números de dirección v_i que se generan a partir de polinomios primitivos sobre el cuerpo finito \mathbb{F}_2 . Para generar el i -ésimo punto x_i en una secuencia de Sobol de dimensión d , se utiliza la siguiente fórmula:

$$x_i = i_1 v_1 \oplus i_2 v_2 \oplus \cdots \oplus i_k v_k \quad (4.8)$$

donde i_j son los bits de la representación binaria del entero i , \oplus es la operación XOR bit a bit, y k es el número de bits necesarios para representar i .

Los números de dirección v_i se calculan a partir de los coeficientes de un polinomio primitivo $p(x)$ de grado s sobre \mathbb{F}_2 :

$$p(x) = x^s + a_1 x^{s-1} + \cdots + a_{s-1} x + 1 \quad (4.9)$$

donde $a_i \in \{0, 1\}$. Los primeros s números de dirección se eligen arbitrariamente, y los siguientes se calculan recursivamente utilizando la relación:

$$v_i = a_1 v_{i-1} \oplus a_2 v_{i-2} \oplus \cdots \oplus a_{s-1} v_{i-s+1} \oplus v_{i-s} \oplus \frac{v_{i-s}}{2^s} \quad (4.10)$$

para $i > s$.

Ventajas y Desventajas

Las principales ventajas del muestreo basado en secuencias de Sobol son:

- **Baja discrepancia:** Las secuencias de Sobol tienen una discrepancia muy baja, lo que significa que los puntos de muestreo están distribuidos de manera muy uniforme en el espacio de búsqueda.
- **Eficiencia:** Son computacionalmente eficientes de generar, especialmente en comparación con otros métodos de muestreo de baja discrepancia.
- **Determinismo:** Son secuencias deterministas, lo que significa que la misma secuencia se generará siempre que se utilice la misma semilla. Esto facilita la reproducibilidad de los resultados.

Desventaja

- **Limitaciones en altas dimensiones:** En comparación con los otros métodos estudiados no encontramos desventajas aparte de la limitación computacional a alta dimensiones, pero esto sería independiente del método.

Aplicabilidad al Problema de Optimización de la Trayectoria de Ascenso

El muestreo basado en secuencias de Sobol se utilizó en este trabajo como el método principal para generar puntos de muestreo para la aproximación de la función objetivo en altas dimensiones ($N=53$). Su baja discrepancia y eficiencia computacional lo hacen adecuado para generar un gran número de puntos distribuidos uniformemente en el espacio de búsqueda.

Para el problema de la trayectoria de ascenso, se utilizó una implementación de las secuencias de Sobol disponible en la biblioteca ‘`scipy.stats.qmc`’. Los puntos generados se escalaron y desplazaron para ajustarse a los rangos de las variables del problema. Además,

se implementó un mecanismo de expansión iterativa del espacio de búsqueda para mejorar la cobertura y adaptarse a la forma de la función objetivo.

Los resultados experimentales mostraron que el muestreo basado en secuencias de Sobol permitió generar un conjunto de puntos válidos de alta calidad para la aproximación de la función objetivo, incluso en el caso de alta dimensionalidad ($N=53$). La uniformidad del muestreo y la eficiencia del algoritmo permitieron obtener una buena representación de la función objetivo con un número relativamente pequeño de puntos.

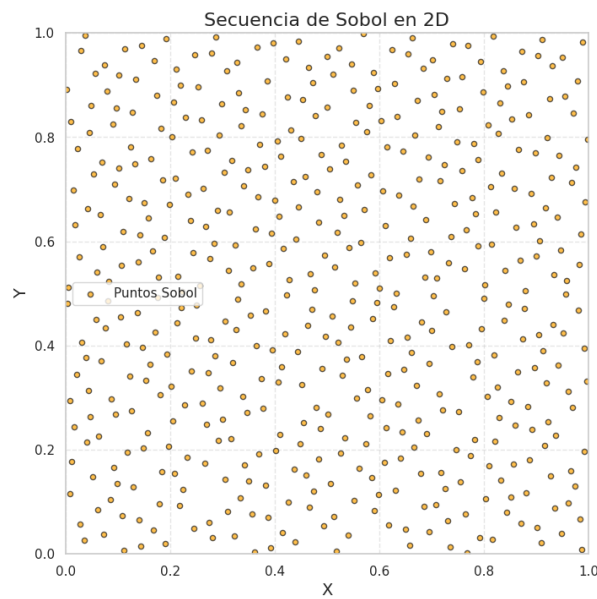


Figura 4.5: Distribución de puntos generados mediante secuencias de Sobol en un espacio bidimensional.

Capítulo 5

Optimización cuántica

El campo emergente de la computación cuántica promete revolucionar la forma en que abordamos problemas computacionales complejos. Un área de particular interés es la optimización, donde los algoritmos cuánticos podrían ofrecer ventajas significativas sobre los métodos clásicos. Este capítulo explora el fundamento teórico de la optimización cuántica, examinando los principios subyacentes, algoritmos clave y potenciales aplicaciones.

5.1. Principios Básicos de Computación Cuántica

Antes de adentrarnos en la optimización, es crucial comprender los conceptos fundamentales de la computación cuántica. A diferencia de los bits clásicos, que representan 0 o 1, los qubits (bits cuánticos) pueden existir en una superposición de ambos estados simultáneamente. Esta propiedad, junto con otros fenómenos cuánticos como el entrelazamiento y la interferencia, permite a las computadoras cuánticas realizar cálculos que son inalcanzables para las computadoras clásicas.

Superposición

Un qubit puede representarse matemáticamente como una combinación lineal de los estados base $|0\rangle$ y $|1\rangle$:

$$|\psi\rangle = \alpha|0\rangle + \beta|1\rangle$$

donde α y β son amplitudes de probabilidad complejas que satisfacen $|\alpha|^2 + |\beta|^2 = 1$. La superposición permite explorar múltiples posibilidades simultáneamente, lo que

constituye la base para muchos algoritmos cuánticos.

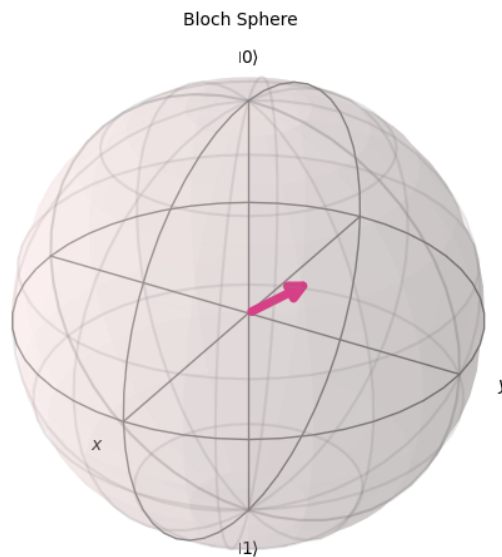


Figura 5.1: Representación de un qubit en la esfera de Bloch.

Como se describe en el libro de Sakurai [?], la esfera de Bloch es una representación geométrica útil para visualizar el estado de un qubit.

Entrelazamiento

El entrelazamiento es un fenómeno cuántico en el que dos o más qubits se correlacionan de tal forma que sus estados están intrínsecamente ligados, incluso si están separados por grandes distancias. Esta propiedad permite realizar operaciones conjuntas sobre múltiples qubits, aumentando la capacidad de procesamiento. Un ejemplo de estado entrelazado es el estado de Bell:

$$|\Phi^+\rangle = \frac{1}{\sqrt{2}}(|00\rangle + |11\rangle)$$

Puertas Cuánticas

Las operaciones en computación cuántica se realizan mediante puertas cuánticas, que son análogas a las puertas lógicas en la computación clásica. Estas puertas manipulan los estados de los qubits y permiten implementar algoritmos cuánticos. Ejemplos de puertas cuánticas incluyen la puerta Hadamard, que crea superposiciones, y la puerta CNOT, que genera entrelazamiento.

La puerta Hadamard (H) transforma los estados base de la siguiente manera:

$$H|0\rangle = \frac{1}{\sqrt{2}}(|0\rangle + |1\rangle)$$

$$H|1\rangle = \frac{1}{\sqrt{2}}(|0\rangle - |1\rangle)$$

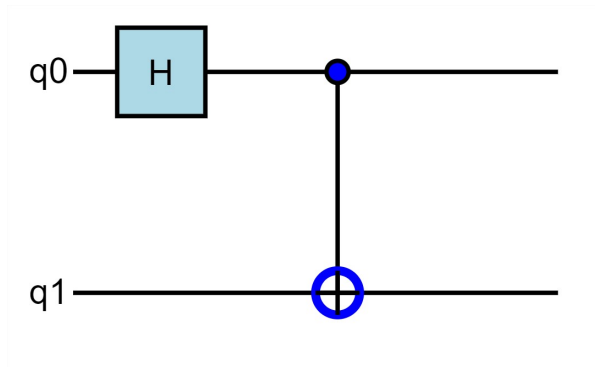


Figura 5.2: Circuito cuántico que ilustra la aplicación de una puerta Hadamard seguida de una puerta CNOT.

5.2. Algoritmos Cuánticos para Optimización

Diversos algoritmos cuánticos han sido propuestos para abordar problemas de optimización. Estos algoritmos aprovechan las propiedades únicas de la mecánica cuántica para potencialmente superar a los algoritmos clásicos en términos de eficiencia y velocidad.

Algoritmo Variacional Cuántico (VQE)

El Algoritmo Variacional Cuántico (VQE, por sus siglas en inglés) es un algoritmo híbrido cuántico-clásico diseñado para encontrar el estado fundamental de un sistema cuántico. Es ampliamente considerado como un candidato prometedor para resolver problemas de optimización. VQE opera en los siguientes pasos:

1. **Preparación de un estado prueba:** Un circuito cuántico parametrizado prepara un estado cuántico $|\psi(\theta)\rangle$, donde θ representa un conjunto de parámetros ajustables.
2. **Medición de la energía:** Se mide el valor esperado de la energía del sistema en el estado $|\psi(\theta)\rangle$.

$$\langle H \rangle = \langle \psi(\theta) | H | \psi(\theta) \rangle$$

donde H es el Hamiltoniano del sistema.

3. Optimización clásica: Un algoritmo de optimización clásico se utiliza para ajustar los parámetros θ con el objetivo de minimizar la energía.

Estos pasos se repiten iterativamente hasta que se alcanza la convergencia, produciendo una aproximación al estado fundamental y su energía asociada. La función objetivo del problema de optimización se codifica en el Hamiltoniano del sistema cuántico. VQE tiene aplicaciones en química cuántica, ciencia de materiales y optimización combinatoria.

Referencia: [?]

Recocido Cuántico (Quantum Annealing)

El Recocido Cuántico es un método de optimización que utiliza fluctuaciones cuánticas para explorar el espacio de soluciones y encontrar el mínimo global de una función objetivo. Se inspira en el proceso de recocido en metalurgia, donde un material se calienta y luego se enfría lentamente para alcanzar un estado de baja energía.

En el recocido cuántico, el problema de optimización se mapea a un Hamiltoniano de Ising, que describe un sistema de espines interactuantes:

$$H = \sum_i h_i \sigma_i^z + \sum_{i < j} J_{ij} \sigma_i^z \sigma_j^z$$

donde h_i representa el campo magnético local en el espín i , J_{ij} es la interacción entre los espines i y j , y σ_i^z es la matriz de Pauli Z actuando sobre el espín i . El sistema se inicializa en un estado de superposición y luego se somete a un campo magnético transversal que disminuye gradualmente. Durante este proceso, el sistema evoluciona adiabáticamente hacia el estado fundamental del Hamiltoniano de Ising, que corresponde a la solución óptima del problema.

Referencia: [?]

Algoritmo de Optimización Aproximada Cuántica (QAOA)

El Algoritmo de Optimización Aproximada Cuántica (QAOA) es otro algoritmo híbrido cuántico-clásico diseñado para resolver problemas de optimización combinatoria. QAOA emplea una secuencia de p capas unitarias parametrizadas, alternando entre operadores que codifican la función costo y operadores de mezcla que permiten la exploración del espacio de soluciones.

La función costo suele estar representada por un Hamiltoniano diagonal H_C , y el operador

de mezcla por un Hamiltoniano transversal $H_B = \sum_i \sigma_i^x$, donde σ_i^x es la matriz de Pauli X actuando sobre el qubit i .

El estado cuántico en QAOA se prepara aplicando alternadamente p veces las evoluciones unitarias generadas por H_C y H_B :

$$|\psi(\gamma, \beta)\rangle = U(H_B, \beta_p)U(H_C, \gamma_p) \cdots U(H_B, \beta_1)U(H_C, \gamma_1)|s\rangle$$

donde $|s\rangle$ es un estado inicial, típicamente una superposición uniforme de todos los estados posibles, y $\gamma = (\gamma_1, \dots, \gamma_p)$, $\beta = (\beta_1, \dots, \beta_p)$ son parámetros que se optimizan clásicamente para minimizar el valor esperado de la función costo:

$$F_p(\gamma, \beta) = \langle \psi(\gamma, \beta) | H_C | \psi(\gamma, \beta) \rangle$$

Cada capa i está compuesta por dos operadores unitarios:

* $U(H_C, \gamma_i) = e^{-i\gamma_i H_C}$: Evolución bajo el Hamiltoniano de costo H_C durante un tiempo γ_i .
 * $U(H_B, \beta_i) = e^{-i\beta_i H_B}$: Evolución bajo el Hamiltoniano de mezcla H_B durante un tiempo β_i .

El objetivo es encontrar los parámetros γ y β que minimizan el valor esperado de H_C en el estado $|\psi(\gamma, \beta)\rangle$. La optimización de estos parámetros se realiza mediante un algoritmo clásico, mientras que la evaluación de $F_p(\gamma, \beta)$ se realiza en un computador cuántico.

Modelo de Ising y QUBO

Muchos problemas de optimización combinatoria pueden formularse como un problema de **Optimización Cuadrática Binaria sin Restricciones (QUBO)**. En un problema QUBO, se busca minimizar una función objetivo cuadrática de variables binarias $x_i \in \{0, 1\}$:

$$f(x) = \sum_{i=1}^n \sum_{j=1}^n Q_{ij} x_i x_j$$

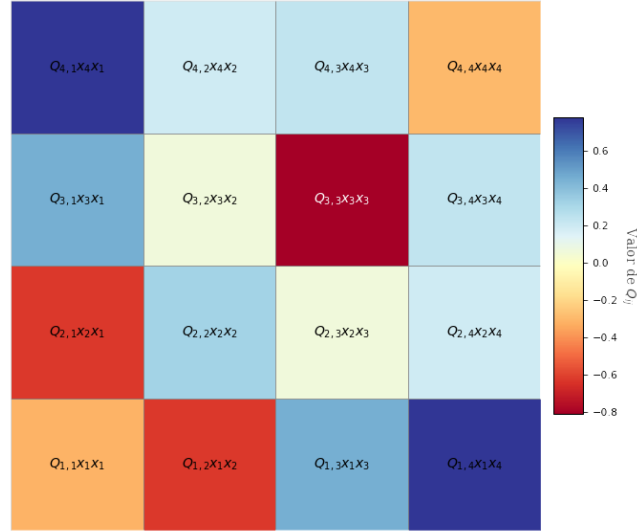
donde Q es una matriz de coeficientes reales.

El modelo de Ising, que describe un sistema de espines interactuantes, está estrechamente relacionado con QUBO. De hecho, cualquier problema QUBO puede mapearse a un problema de Ising y viceversa. La relación entre las variables binarias x_i de QUBO y las variables de espín $s_i \in \{-1, 1\}$ del modelo de Ising es:

$$s_i = 2x_i - 1$$

Esta relación permite utilizar algoritmos como QAOA para resolver problemas formulados como QUBO, aprovechando la capacidad del algoritmo para encontrar el estado fundamental de un Hamiltoniano de Ising.

Referencias: [?, ?]



Optimización Cuadrática Binaria sin Restricciones (QUBO)

$$f(x) = \sum_{i=1}^n \sum_{j=1}^n Q_{ij} x_i x_j$$

Figura 5.3: Función objetivo de un problema de Optimización Cuadrática Binaria sin Restricciones (QUBO). Donde x_i y x_j son variables binarias (0 o 1), y Q_{ij} son los coeficientes de una matriz simétrica que define las interacciones entre las variables. Cada cuadrado en la imagen representa un término cuadrático $Q_{ij}x_i x_j$ de la función objetivo. El color de cada cuadrado indica el valor del coeficiente Q

5.3. Aplicacion

La optimización cuántica tiene el potencial de impactar significativamente en una amplia gama de áreas, incluyendo:

- **Finanzas:** Optimización de carteras, gestión de riesgos, detección de fraude. Referencia: [?]
- **Logística:** Optimización de rutas, gestión de inventarios, planificación de la cadena de suministro. Referencia: [?]

- **Aprendizaje Automático:** Entrenamiento de redes neuronales, selección de características, agrupamiento de datos. Referencia: [?]
- **Descubrimiento de Fármacos:** Diseño de moléculas, predicción de propiedades químicas, optimización de síntesis. Referencia: [?]
- **Ciencia de Materiales:** Diseño de nuevos materiales, simulación de propiedades materiales, optimización de procesos de fabricación. Referencia: [?]

Desafíos y Perspectivas Futuras

A pesar del enorme potencial, la optimización cuántica enfrenta varios desafíos. La construcción de computadoras cuánticas tolerantes a fallos es una tarea tecnológicamente compleja. Además, el desarrollo de algoritmos cuánticos eficientes y escalables requiere investigación continua.

El hardware cuántico actual es limitado en términos de tamaño y conectividad, además los algoritmos cuánticos como VQE y QAOA pueden verse afectados aumentando error por el hardware ruidoso.

No obstante, el campo de la computación cuántica está experimentando un rápido progreso. Se espera que las disponibilidades con hardware cuántico mejorado y el desarrollo de nuevos algoritmos impulsen avances significativos en la optimización cuántica en los próximos años.

Capítulo 6

Optimización de la trayectoria del Aibus A320

Este capítulo representa la aplicación de los marcos teóricos y metodológicos desarrollados en los capítulos precedentes. Se aborda directamente el desafío propuesto por Airbus para la optimización de la trayectoria de ascenso de la aeronave A320. Se detallará el proceso de formulación específica del problema, la aplicación de la reducción de dimensionalidad al modelo A320, las estrategias de muestreo adaptadas a la alta dimensionalidad resultante, el ajuste de la función objetivo para la computación cuántica y, finalmente, la ejecución y análisis comparativo de los enfoques de optimización clásico y cuántico sobre este problema aeronáutico real.

El primer paso para abordar la optimización de la trayectoria del A320 es definir formalmente el modelo matemático basado en las especificaciones del problema original y aplicar las técnicas de reducción de dimensionalidad introducidas en el Capítulo 3. Esta sección detalla cómo se particularizan las ecuaciones de la mecánica de vuelo (Capítulo 2) para el A320 y cómo mediante el análisis matemático del modelo es posible simplificar significativamente la complejidad del problema.

6.1. Modelo Original del Problema Airbus A320

El problema de optimización de la trayectoria de ascenso para el A320 fue planteado formalmente por Airbus como parte de su “Quantum Computing Challenge”[?]. Este planteamiento representa el modelo matemático completo que sirve como base para nuestro análisis y posterior simplificación.

La trayectoria de vuelo se optimiza entre un punto inicial I , donde la aeronave se encuentra en equilibrio ascendiendo con empuje MCL (Maximum Climb) a una velocidad CAS_I , y el primer nivel de crucero ubicado a la altitud Zp_F . El criterio de optimización es el costo ϕ de la trayectoria, que incorpora tanto el consumo de combustible como el tiempo de vuelo mediante el Índice de Costo CI :

$$\phi = \text{consumo} + CI \times \text{tiempo} \quad (6.1)$$

El problema matemático a resolver se formula como:

$$\min_{\{v_i, \gamma_i, m_i, t_i, s_i, Cz_i, \lambda_i\}_{1 \leq i \leq N-1}} \phi(v_{N-1}, m_{N-1}, t_{N-1}, s_{N-1}, \lambda_{N-1}) \quad (6.2)$$

sujeto a las siguientes restricciones de igualdad, que representan las ecuaciones de movimiento discretizadas:

$$g_{v_i} = \frac{v_{i+1} - v_i}{Zp_{i+1} - Zp_i} - \frac{1}{2} \left(\frac{\lambda_{i+1} F_{N_{MCL_{i+1}}}}{m_{i+1} v_{i+1} \sin \gamma_{i+1}} - \frac{\frac{1}{2} \rho(Zp_{i+1}) v_{i+1} S_{REF} (Cx_0 + kCz_{i+1}^2)}{m_{i+1} \sin \gamma_{i+1}} \right. \\ \left. - \frac{g_0}{v_{i+1}} + \frac{\lambda_i F_{N_{MCL_i}}}{m_i v_i \sin \gamma_i} - \frac{\frac{1}{2} \rho(Zp_i) v_i S_{REF} (Cx_0 + kCz_i^2)}{m_i \sin \gamma_i} - \frac{g_0}{v_i} \right) = 0 \quad (0 \leq i \leq N-2) \quad (6.3)$$

$$g_{\gamma_i} = \frac{\gamma_{i+1} - \gamma_i}{Zp_{i+1} - Zp_i} - \frac{1}{2} \left(\frac{\frac{1}{2} \rho_{i+1} S_{REF} C z_{i+1}}{m_{i+1} \sin \gamma_{i+1}} - \frac{g_0}{v_{i+1}^2 \tan \gamma_{i+1}} + \frac{\frac{1}{2} \rho_i S_{REF} C z_i}{m_i \sin \gamma_i} \right. \\ \left. - \frac{g_0}{v_i^2 \tan \gamma_i} \right) = 0 \quad (0 \leq i \leq N-2) \quad (6.4)$$

$$g_{m_i} = \frac{m_{i+1} - m_i}{Zp_{i+1} - Zp_i} + \frac{1}{2}\eta \left(\frac{\lambda_{i+1} F_{N_{MCL_{i+1}}}}{v_{i+1} \sin \gamma_{i+1}} + \frac{\lambda_i F_{N_{MCL_i}}}{v_i \sin \gamma_i} \right) = 0 \quad (0 \leq i \leq N-2) \quad (6.5)$$

$$g_{t_i} = \frac{t_{i+1} - t_i}{Zp_{i+1} - Zp_i} - \frac{1}{2} \left(\frac{1}{v_{i+1} \sin \gamma_{i+1}} + \frac{1}{v_i \sin \gamma_i} \right) = 0 \quad (0 \leq i \leq N-2) \quad (6.6)$$

$$g_{s_i} = \frac{s_{i+1} - s_i}{Zp_{i+1} - Zp_i} - \frac{1}{2} \left(\frac{1}{\tan \gamma_{i+1}} + \frac{1}{\tan \gamma_i} \right) = 0 \quad (0 \leq i \leq N-2) \quad (6.7)$$

Estas ecuaciones son válidas para i desde 0 hasta $N - 2$.

Adicionalmente, la trayectoria debe satisfacer un conjunto de restricciones operacionales y de seguridad en cada punto i (desde $i = 1$ hasta $N - 1$):

$$g_{VMO_i} = CAS(v_i, Zp_i) - VMO \leq 0 \quad (6.8)$$

$$g_{MMO_i} = MACH(v_i, Zp_i) - MMO \leq 0 \quad (6.9)$$

$$g_{Vz_i} = Vz_{\min} - v_i \sin \gamma_i \leq 0 \quad (6.10)$$

$$Cz_i \leq Cz_{\max} \quad (6.11)$$

$$0 \leq \lambda_i \leq 1 \quad (6.12)$$

Estas inecuaciones aseguran que los límites de operación de la aeronave (límites de velocidad calibrada y Mach), mantenga una tasa mínima de ascenso, no exceda el coeficiente de sustentación máximo y utilice un nivel de empuje válido.

Las condiciones iniciales en el punto $i = 0$ (correspondiente a la altitud Zp_I) se definen como sigue:

$$v_0 = TAS(CAS_I, Zp_I) \quad (6.13)$$

$$\gamma_0 = \arcsin \left(\frac{F_{N_{MCL}}(Zp_0) - \frac{1}{2}\rho(Zp_0)v_0^2 S_{REF} \left[Cx_0 + k \left(\frac{m_0 g_0}{\frac{1}{2}\rho(Zp_0)v_0^2 S_{REF}} \right) \right]}{m_0 g_0} \right) \quad (6.14)$$

$$m_0 = m_I \quad (6.15)$$

$$t_0 = 0 \quad (6.16)$$

$$s_0 = 0 \quad (6.17)$$

$$Cz_0 = \frac{m_0 g_0}{\frac{1}{2} \rho(Zp_0) v_0^2 S_{REF}} \quad (6.18)$$

$$\lambda_0 = 1 \quad (6.19)$$

$$(6.20)$$

efeq:airbus_v0a(6.19)),

Aquí, $Zp_0 = Zp_I$. La condición para γ_0 asume un estado equilibrado inicial con empuje máximo de ascenso (MCL).

La altitud en cada punto i se define mediante una discretización uniforme:

$$Zp_i = Zp_I + i \frac{Zp_F - Zp_I}{N - 1} \quad \text{para } 0 \leq i \leq N - 1 \quad (6.21)$$

El modelo utiliza varias funciones y parámetros auxiliares que definen las propiedades atmosféricas, aerodinámicas y de rendimiento del motor:

$$F_{N_{MCL_i}} = F_{N_{MCL}}(Zp_i) \quad (\text{Empuje máximo de ascenso}) \quad (6.22)$$

$$\rho_i = \rho(Zp_i) = \rho_0 \left(\frac{T_{s_0} + L_Z Zp_i}{T_{s_0}} \right)^{\alpha_0 - 1} \quad (\text{Densidad del aire}) \quad (6.23)$$

$$M(v, Zp) = \frac{v}{\sqrt{\gamma_{air} R (T_{s_0} + L_Z Zp)}} \quad (\text{Número de Mach}) \quad (6.24)$$

$$CAS(v, Zp) = \left[7RT_{s_0} \left(\left(\left(\frac{T_{s_0} + L_Z Zp}{T_{s_0}} \right)^{\alpha_0} \left(\left(1 + \frac{v^2}{7R(T_{s_0} + L_Z Zp)} \right)^{3,5} - 1 \right) + 1 \right)^{1/3,5} - 1 \right) \right]^{1/2} \quad (6.25)$$

$$TAS(CAS, Zp) = \left[7R(Ts_0 + L_Z Zp) \left(\left(\left(\frac{Ts_0 + L_Z Zp}{Ts_0} \right)^{-\alpha_0} \left(\left(1 + \frac{CAS^2}{7RTs_0} \right)^{3,5} - 1 \right) + 1 \right)^{1/3,5} - 1 \right) \right]^{1/2} \quad (6.26)$$

Donde las constantes atmosféricas estándar (ISA) utilizadas son:

$$Ts_0 = 288,15 \text{ K}, \quad \rho_0 = 1,225 \text{ kg} \cdot \text{m}^{-3} \quad (6.27)$$

$$L_Z = -0,0065 \text{ K} \cdot \text{m}^{-1}, \quad g_0 = 9,80665 \text{ m} \cdot \text{s}^{-2} \quad (6.28)$$

$$\alpha_0 = -\frac{g_0}{RL_Z}, \quad R = 287,05287 \text{ N} \cdot \text{m} \cdot \text{kg}^{-1} \cdot \text{K}^{-1} \quad (6.29)$$

La función de costo ϕ se calcula considerando no solo la fase de ascenso, sino también una fase de aceleración a altitud constante (Z_{pF}) hasta alcanzar la velocidad de crucero (M_{CRZ}), y una fase de crucero hasta completar una distancia total L . El cálculo detallado implica determinar el estado al final de la aceleración (punto B) y luego el estado al final del crucero (punto F). Con ρ_F y siendo v_F la velocidad TAS correspondiente a M_{CRZ} en la altitud Z_{pF} :

$$\rho_F = \rho_0 \left(\frac{Ts_0 + L_Z Z_{pF}}{Ts_0} \right)^{-\left(\frac{g_0}{RL_Z} + 1\right)} \quad (6.30)$$

$$v_F = M_{CRZ} \sqrt{1,4R(Ts_0 + L_Z Z_{pF})} \quad (6.31)$$

Se definen las constantes A, B, C, D para la fase de aceleración:

$$A = -\frac{\rho_F S_{REF} C x_0}{2m_{N-1}} - \frac{6km_{N-1}g_0^2}{\rho_F S_{REF} v_{N-1}^4} \quad (6.32)$$

$$B = \frac{16km_{N-1}g_0^2}{\rho_F S_{REF} v_{N-1}^3} \quad (6.33)$$

$$C = \frac{F_{NMCL_{N-1}}}{m_{N-1}} - \frac{12km_{N-1}g_0^2}{\rho_F S_{REF} v_{N-1}^2} \quad (6.34)$$

$$D = \sqrt{B^2 - 4AC} \quad (6.35)$$

Usando estos coeficientes, se calcula el tiempo t_B masa m_B y distancia s_B acumulados al finalizar la fase de aceleración hasta v_F

$$t_B = t_{N-1} + \frac{2}{D} \left[\tanh^{-1} \left(\frac{2Av_{N-1} + B}{D} \right) - \tanh^{-1} \left(\frac{2Av_F + B}{D} \right) \right] \quad (6.36)$$

$$m_B = m_{N-1} - \eta \lambda_{N-1} F_{N_{MCL_{N-1}}} (t_B - t_{N-1}) \quad (6.37)$$

$$s_B = s_{N-1} + \frac{1}{A} \log \left(\frac{D - 2Av_F - B}{D - 2Av_{N-1} - B} \right) - \frac{B + D}{2A} (t_B - t_{N-1}) \quad (6.38)$$

Finalmente se modela el segmento de crucero que permite a la aeronave alcanzar la distancia total L . Durante esta fase, caracterizada por un vuelo a altitud Z_{p_F} y velocidad v_F constantes, el consumo de combustible provoca una disminución de la masa. Partiendo de la masa m_B y el tiempo t_B al inicio de esta fase (punto B), la masa m_F y el tiempo t_F correspondientes a la finalización de la distancia $s_F = L$ se calculan como sigue:

$$m_F = m_B e^{-\frac{2\eta g_0 \sqrt{kCx_0}}{v_F} (s_F - s_B)} \quad (6.39)$$

$$t_F = t_B + \frac{s_F - s_B}{v_F} \quad (6.40)$$

La función de costo final, que combina el consumo total de combustible y el tiempo total t_F ponderado por el Índice de Costo CI , se define como:

$$\boxed{\phi(v_{N-1}, m_{N-1}, t_{N-1}, s_{N-1}, \lambda_{N-1}) = -m_F + CI \left(t_B - \frac{s_B}{v_F} \right)} \quad (6.41)$$

Características del Problema:

Seleccionando $N = 53$, correspondiente a una discretización aproximada de 500 ft entre $Z_{p_I} = 10000$ ft y $Z_{p_F} = 36000$ ft, el problema se convierte en:

- Número de variables: $7 \times (N - 1) = 7 \times 52 = 364$. Estas variables son:

$$\{v_i, \gamma_i, m_i, t_i, s_i, Cz_i, \lambda_i\} \text{ para } i = 1, \dots, 52.$$

- Número de restricciones de igualdad (ecuaciones dinámicas): $5 \times (N - 1) = 5 \times 52 = 260$. Estas son las ecuaciones (6.3) a (6.7).
- Número de restricciones de desigualdad (límites operacionales): $5 \times (N - 1) = 5 \times 52 = 260$. Estas son las ecuaciones (6.8) a (6.12).
- Total de restricciones: $260 + 260 = 520$.

Se trata de un problema de optimización no lineal de gran escala con restricciones.

Parámetros del Problema:

Los valores específicos para los parámetros del modelo A320 se consignan en la siguiente tabla:

| Nº | Símbolo | Definición | Valor | Unidad SI |
|----|------------|------------------------------------|---------|-------------------------------------------|
| 1 | Cx_0 | 2*Aerodynamic polar coefficients | 0.014 | - |
| 2 | k | | 0.09 | |
| 3 | Cz_{max} | Maximum lift coefficient | 0.7 | - |
| 4 | S_{REF} | Aerodynamic reference area | 120 | m^2 [L ²] |
| 5 | η | Specific fuel consumption | 0.06 | kg(N.h) ⁻¹ [L ⁻¹ T] |
| 6 | Zp_I | Initial altitude | 10000 | ft [L] |
| 7 | Zp_F | Final altitude | 36000 | ft [L] |
| 8 | m_I | Initial mass | 60000 | kg [M] |
| 9 | CAS_I | Initial Calibrated Air Speed (CAS) | 250 | kt [LT ⁻¹] |
| 10 | VMO | Maximum CAS | 350 | kt [LT ⁻¹] |
| 11 | MMO | Maximum Mach number | 0.82 | - |
| 12 | M_{CRZ} | Cruise Mach number | 0.80 | - |
| 13 | $L(=s_F)$ | Total length of the trajectory | 400 | km [L] |
| 14 | Vz_{min} | Minimum climb speed | 300 | ft.min ⁻¹ [LT ⁻¹] |
| 15 | g_0 | Acceleration of gravity | 9.80665 | m.s ⁻² [LT ⁻²] |
| 16 | CI | Cost Index | 30 | kg.min ⁻¹ [MT ⁻¹] |

El empuje máximo de ascenso ($F_{N_{MCL}}$), dependiente de la altitud Zp (en metros), se modela como:

$$F_{N_{MCL}}(Zp) = 140000 - 2,53 \cdot Zp \quad (6.42)$$

donde $F_{N_{MCL}}$ se expresa en Newtons (N).

Las conversiones de unidades utilizadas son:

$$1 \text{ ft} = 0,3048 \text{ m} \quad (6.43)$$

$$1 \text{ kt} = \frac{1852}{3600} \text{ m/s} \approx 0,5144 \text{ m/s} \quad (6.44)$$

6.2. Análisis de Independencia Diferencial entre Relaciones del Sistema

El modelo de optimización de la trayectoria de ascenso del A320, descrito en la Sección 6.1, se compone de un conjunto de variables de estado y control interconectadas a través de ecuaciones dinámicas discretizadas. Específicamente, para una discretización de $N = 53$ puntos, el sistema involucra $7 \times (N - 1) = 364$ variables: $\{v_i, \gamma_i, m_i, t_i, s_i, Cz_i, \lambda_i\}$ para $i = 1, \dots, 52$. Estas variables están sujetas a $5 \times (N - 1) = 260$ restricciones de igualdad dadas por las ecuaciones (6.3) a (6.7), las cuales representan la evolución del estado de la aeronave entre puntos consecutivos de la trayectoria.

Un número elevado de variables y restricciones puede incrementar significativamente la complejidad computacional de los algoritmos de optimización. Por lo tanto, resulta fundamental determinar si existen dependencias inherentes entre las ecuaciones del sistema que permitan reducir la dimensionalidad efectiva del problema. Este análisis se fundamenta en los principios del Teorema de la Función Implícita (discutido en el Capítulo 3), el cual establece condiciones bajo las cuales un sistema de ecuaciones define implícitamente algunas variables como funciones de otras. Una condición clave es la invertibilidad (o el rango) de la matriz Jacobiana asociada al sistema.

Aunque el objetivo no es resolver explícitamente para un subconjunto de variables, el análisis del Jacobiano del sistema de ecuaciones de actualización de estado ((6.3) a (6.7))

proporciona información cuantitativa sobre el número de grados de libertad reales del sistema, es decir, el número de variables independientes.

Construcción de la Matriz Jacobiana:

La matriz jacobiana J para un sistema se describe en el capítulo 3, y para este sistema en particular la matriz Jacobiana J se define como la matriz de las derivadas parciales de las $5 \times (N - 1) = 260$ funciones de restricción de igualdad, $g_{v_i}, g_{\gamma_i}, g_{m_i}, g_{t_i}, g_{s_i}$ para $i = 0, \dots, N - 2$, con respecto a las $7 \times (N - 1) = 364$ variables, $v_j, \gamma_j, m_j, t_j, s_j, Cz_j, \lambda_j$ para $j = 1, \dots, N - 1$.

La estructura de esta matriz J , de dimensiones 260×364 , es:

$$J = \begin{bmatrix} \frac{\partial g_v(0)}{\partial v(1)} & \frac{\partial g_v(0)}{\partial v(2)} & \cdots & \frac{\partial g_v(0)}{\partial \gamma(1)} & \cdots & \frac{\partial g_v(0)}{\partial \lambda(N-1)} \\ \frac{\partial g_v(1)}{\partial v(1)} & \frac{\partial g_v(1)}{\partial v(2)} & \cdots & \frac{\partial g_v(1)}{\partial \gamma(1)} & \cdots & \frac{\partial g_v(1)}{\partial \lambda(N-1)} \\ \vdots & \vdots & \ddots & \vdots & \ddots & \vdots \\ \frac{\partial g_\gamma(0)}{\partial v(1)} & \frac{\partial g_\gamma(0)}{\partial v(2)} & \cdots & \frac{\partial g_\gamma(0)}{\partial \gamma(1)} & \cdots & \frac{\partial g_\gamma(0)}{\partial \lambda(N-1)} \\ \vdots & \vdots & \ddots & \vdots & \ddots & \vdots \\ \frac{\partial g_s(N-2)}{\partial v(1)} & \frac{\partial g_s(N-2)}{\partial v(2)} & \cdots & \frac{\partial g_s(N-2)}{\partial \gamma(1)} & \cdots & \frac{\partial g_s(N-2)}{\partial \lambda(N-1)} \end{bmatrix} \quad (6.45)$$

Cada una de las 260 filas corresponde a una de las ecuaciones de restricción de igualdad g_v, g_γ, g_m, g_t , o g_s , e i variando de 0 a $N - 2 = 51$. Estas ecuaciones representan la dinámica que conecta el estado de la aeronave entre el punto i y el punto $i + 1$. Cada una de las 364 columnas corresponde a una de las variables de optimización v, γ, m, t, s, Cz , o λ , y el índice j variando de 1 a $N - 1 = 52$. Las variables en el punto inicial $i = 0$ ($v_0, \gamma_0, m_0, t_0, s_0, Cz_0, \lambda_0$) son condiciones fijas determinadas por los parámetros iniciales del problema y, por lo tanto, no forman parte de las variables respecto a las cuales se diferencia; no constituyen columnas en el Jacobiano J .

$$J_{(\text{func}, i), (\text{var}, j)} = \frac{\partial g_{\text{func}}(i)}{\partial \text{var}(j)}$$

Cálculo Numérico del Rango Jacobiano:

Debido a la complejidad algebraica de las ecuaciones (6.3) a (6.7), el cálculo simbólico completo del rango del Jacobiano es intratable. En su lugar, se adopta un enfoque

numérico:

1. **Diferenciación Simbólica:** Se utiliza una biblioteca de cálculo simbólico (como SymPy en Python) para obtener las expresiones analíticas de cada derivada parcial $\frac{\partial g_{\text{func}}(i)}{\partial \text{var}(j)}$. Este proceso se implementó mediante una función que toma la ecuación simbólica, la variable de diferenciación y los índices correspondientes.
2. **Evaluación Numérica:** Se define un punto específico en el espacio de variables. Esto implica asignar valores numéricos a todas las constantes del problema (Tabla Apéndice A) y generar una trayectoria de ejemplo factible que proporcione valores para $v_i, \gamma_i, \dots, \lambda_i$ en cada punto $i = 0, \dots, N - 1$. Los valores iniciales ($i = 0$) se calculan a partir de las condiciones dadas ((6.13) a (6.19)), y los valores para $i = 1, \dots, N - 1$ provienen de asignación de valores factibles.
3. **Sustitución y Construcción de Matriz Numérica:** Las expresiones simbólicas de las derivadas parciales se evalúan numéricamente sustituyendo los valores de las constantes y las variables en el punto elegido. Con estos valores numéricos, se construye la matriz Jacobiana J_{num} de 260×364 .
4. **Cálculo del Rango:** Se calcula el rango de la matriz numérica J_{num} utilizando métodos numéricos estándar, como la descomposición en valores singulares (SVD), implementados en bibliotecas como NumPy ('numpy.linalg.matrix_rank').

El pseudocódigo (1) ilustra el proceso de cálculo del Jacobiano numérico.

Resultados del Análisis y Determinación de Variables Independientes:

Aplicando el procedimiento descrito y utilizando los valores numéricos de los parámetros y una trayectoria de ejemplo para las variables, se obtuvo que para $N = 53$ el valor del rango del Jacobiano es 260

El rango entonces, de la matriz Jacobiana evaluada numéricamente es 260. Resultado que tiene una implicación directa: de las 260 ecuaciones de actualización de estado que definen las restricciones de igualdad del sistema, todas son linealmente independientes.

Algorithm 1 Cálculo del Jacobiano Numérico

```

1: Entrada: Dimensión  $N$ , valores numéricos de variables y constantes
2: Salida: Matriz jacobiana numérica
3: /* Definición previa de funciones simbólicas */
4:  $g_v, g_\gamma, g_m, g_t, g_s \leftarrow$  Funciones simbólicas
5:  $v(i), \gamma(i), m(i), t(i), s(i), C_z(i), \lambda(i) \leftarrow$  Variables simbólicas
6:  $Z_{p_I}, C_{x_0}, \dots \leftarrow$  Constantes simbólicas
7: function CALCULARDERIVADAPARCIAL(función, variable,  $i_{\text{func}}$ ,  $j_{\text{var}}$ )
8:    $\partial \leftarrow \frac{\partial}{\partial \text{variable}(j_{\text{var}})}[\text{función}(i = i_{\text{func}})]$   $\triangleright$  Derivada simbólica
9:   return  $\partial$ 
10: end function
11: function CALCULARJACOBIANO NUMÉRICO( $N$ , valVariables, valoresConstantes)
12:   numFunciones  $\leftarrow 5 \times (N - 1)$ 
13:   numVariables  $\leftarrow 7 \times (N - 1)$ 
14:    $J_{\text{simb}} \leftarrow$  Matriz(numFunciones, numVariables)  $\triangleright$  Inicializada con ceros
15:   funciones  $\leftarrow [g_v, g_\gamma, g_m, g_t, g_s]$ 
16:   variables  $\leftarrow [v, \gamma, m, t, s, C_z, \lambda]$ 
17:   for  $i_{\text{func}} = 0 \dots N - 2$  do
18:     for  $j_{\text{var\_idx}} = 0 \dots N - 2$  do
19:        $j_{\text{var}} \leftarrow j_{\text{var\_idx}} + 1$   $\triangleright$  Índice real de la variable
20:       for  $k_{\text{func}} = 0 \dots |\text{funciones}| - 1$  do
21:         for  $l_{\text{var}} = 0 \dots |\text{variables}| - 1$  do
22:           func  $\leftarrow$  funciones[ $k_{\text{func}}$ ]
23:           var  $\leftarrow$  variables[ $l_{\text{var}}$ ]
24:           derivada  $\leftarrow$  CALCULARDERIVADAPARCIAL(func, var,  $i_{\text{func}}$ ,  $j_{\text{var}}$ )
25:           fila  $\leftarrow i_{\text{func}} \times |\text{funciones}| + k_{\text{func}}$ 
26:           columna  $\leftarrow j_{\text{var\_idx}} \times |\text{variables}| + l_{\text{var}}$ 
27:            $J_{\text{simb}}[\text{fila}, \text{columna}] \leftarrow$  derivada
28:         end for
29:       end for
30:     end for
31:   end for
32:    $J_{\text{eval}} \leftarrow$  Sustituir valoresVariables y valoresConstantes en  $J_{\text{simb}}$ 
33:    $J_{\text{final}} \leftarrow$  Convertir  $J_{\text{eval}}$  a matriz numérica
34:   return  $J_{\text{final}}$ 
35: end function

/* Ejemplo de uso */
36: valoresVars  $\leftarrow \{v(1) = \dots, \gamma(1) = \dots, \dots, \lambda(N - 1) = \dots\}$ 
37: valoresConst  $\leftarrow \{Z_{p_I} = \dots, C_{x_0} = \dots, \dots\}$ 
38:  $J_{\text{num}} \leftarrow$  CALCULARJACOBIANO NUMÉRICO(53, valoresVars, valoresConst)
39: rangoJ  $\leftarrow$  CALCULARRANGOMATRIZ( $J_{\text{num}}$ )

```

El número de variables independientes o grados de libertad del sistema se determina entonces como la diferencia entre el número total de variables y el rango del Jacobiano que representa el número de restricciones linealmente independientes efectivas.

$$\text{Variables Independientes} = \text{Número Total de Variables} - \text{Rango}(J) \quad (6.46)$$

$$\text{Variables Independientes} = 364 - 260 = 104 \quad (6.47)$$

Este cálculo revela que, aunque el problema se formula inicialmente con 364 variables, las 260 ecuaciones de estado interdependientes reducen el número de grados de libertad a 104. Esto significa que la trayectoria completa de ascenso, definida por las 364 variables, puede ser determinada unívocamente especificando los valores de un subconjunto de 104 variables independientes, siempre que se satisfagan las ecuaciones de estado.

Implicaciones para la Optimización:

La determinación de que existen solo 104 variables independientes tiene consecuencias significativas para el proceso de optimización:

- **Reducción de Dimensionalidad:** El espacio de búsqueda efectivo para la optimización se reduce de 364 a 104 dimensiones. Esto mitiga considerablemente la “maldición de la dimensionalidad” y hacer que los algoritmos de optimización (tanto clásicos como cuánticos) sean más eficientes y tengan mayor probabilidad de encontrar soluciones de alta calidad.
- **Selección de Variables de Optimización:** En lugar de optimizar directamente sobre las 364 variables, se puede elegir un conjunto de 104 variables como las variables de decisión primarias. Las restantes 260 variables se calcularían entonces resolviendo (implícita o explícitamente) el sistema de ecuaciones de estado. Una elección común podría ser optimizar sobre las variables de control (λ_i, Cz_i u otras combinaciones) en cada segmento.
- **Enfoque de Muestreo y Ajuste:** Las estrategias de muestreo del espacio de soluciones y el ajuste posterior de la función objetivo (discutidas en las secciones siguientes) pueden centrarse en este espacio reducido de 104 dimensiones, simplificando la tarea de aproximar la función de costo ϕ .

Es importante notar que el rango se calculó numéricamente en un punto específico. Sin embargo, dada la naturaleza física del sistema, se espera que este rango sea constante en la mayor parte del dominio factible. La identificación de 104 variables independientes proporciona la base teórica para simplificar el enfoque de optimización para el problema de ascenso del A320.

6.3. Reducción de Dimensionalidad del Modelo de AIRBUS

El análisis de independencia diferencial (Sección 6.2), fundamentado en el cálculo numérico del rango de la matriz Jacobiana asociada al sistema de ecuaciones dinámicas discretizadas (6.3) a (6.7), reveló una propiedad estructural fundamental del modelo de ascenso del A320. Para $N = 53$, el sistema consta de $M = 5 \times (N - 1) = 260$ ecuaciones de igualdad que relacionan un total de $P = 7 \times (N - 1) = 364$ variables de estado y control $\{v_i, \gamma_i, m_i, t_i, s_i, Cz_i, \lambda_i\}_{i=1}^{N-1}$. El rango calculado del Jacobiano, $\text{rank}(J) = 260 = M$, confirma que las 260 ecuaciones son linealmente independientes en el punto evaluado. Según el Teorema de la Función Implícita (Capítulo 3), un sistema de M ecuaciones independientes con P variables define localmente M variables dependientes como funciones de las $P - M$ variables independientes restantes. En este caso, el número de grados de libertad del sistema es $P - M = 364 - 260 = 104$. Esto implica que la trayectoria completa, definida por las 364 variables, está unívocamente determinada por la especificación de un subconjunto de 104 variables independientes, siempre que se satisfagan las 260 ecuaciones de estado.

Selección de Variables Independientes y Estructura Iterativa:

Una elección estratégica para las variables independientes, motivada por su rol en la definición de la cinemática de la trayectoria, consiste en seleccionar las velocidades verdaderas $\{v_i\}_{i=1}^{N-1}$ y los ángulos de ascenso $\{\gamma_i\}_{i=1}^{N-1}$ para todos los puntos desde $i = 1$ hasta $N - 1$. Este conjunto precisamente contiene $2 \times (N - 1) = 104$ variables.

Con esta elección, el problema se reestructura como un proceso iterativo. Dado el estado completo de la aeronave en el punto i , denotado por $\mathbf{s}_i = (v_i, \gamma_i, m_i, t_i, s_i, Cz_i, \lambda_i)$, y especificando los valores de las variables independientes en el siguiente punto, v_{i+1} y

γ_{i+1} , el objetivo es calcular las variables dependientes restantes en el punto $i + 1$, es decir, $\mathbf{d}_{i+1} = (m_{i+1}, t_{i+1}, s_{i+1}, Cz_{i+1}, \lambda_{i+1})$. Este cálculo se realiza para i desde 0 hasta $N-2$, comenzando con el estado inicial \mathbf{s}_0 completamente determinado por las condiciones iniciales (6.13) a (6.19).

El procedimiento matemático para calcular \mathbf{d}_{i+1} a partir de \mathbf{s}_i y (v_{i+1}, γ_{i+1}) se basa en la manipulación algebraica y la resolución analítica de las ecuaciones de estado:

Paso 1: Expresión explícita para λ_{i+1}

La ecuación de conservación de masa $g_{m_i} = 0$ (ec. (??)) relaciona la variación de masa con el empuje aplicado. Despejando λ_{i+1} se obtiene:

$$\frac{1}{2}\eta \frac{\lambda_{i+1} F_{NMCL_{i+1}}}{v_{i+1} \sin \gamma_{i+1}} = - \left(\frac{m_{i+1} - m_i}{Zp_{i+1} - Zp_i} \right) - \frac{1}{2}\eta \frac{\lambda_i F_{NMCL_i}}{v_i \sin \gamma_i} \quad (6.48)$$

$$\implies \lambda_{i+1} = - \frac{2v_{i+1} \sin \gamma_{i+1}}{\eta F_{NMCL_{i+1}}} \left(\frac{m_{i+1} - m_i}{Zp_{i+1} - Zp_i} \right) - \frac{\lambda_i F_{NMCL_i} v_{i+1} \sin \gamma_{i+1}}{F_{NMCL_{i+1}} v_i \sin \gamma_i} \quad (6.49)$$

Esta expresión define λ_{i+1} como una función que depende de (v_{i+1}, γ_{i+1}) , de la aún desconocida m_{i+1} , y de las variables conocidas del estado \mathbf{s}_i (específicamente $m_i, v_i, \gamma_i, \lambda_i$) y parámetros $(Zp_i, Zp_{i+1}, F_{NMCL_i}, F_{NMCL_{i+1}}, \eta)$. Formalmente:

$$\lambda_{i+1} = f_\lambda(v_{i+1}, \gamma_{i+1}, m_{i+1}; \mathbf{s}_i, \text{params}) \quad (6.50)$$

Paso 2: Expresión explícita para Cz_{i+1}

La ecuación de equilibrio de fuerzas perpendicular a la trayectoria, representada por $g_{\gamma_i} = 0$ (ec. (??)), relaciona el coeficiente de sustentación Cz_{i+1} con la curvatura de la trayectoria (cambio en γ) y otras variables. A partir de (??):

$$\frac{1}{2} \frac{\rho_{i+1} S_{REF} Cz_{i+1}}{m_{i+1} \sin \gamma_{i+1}} = \frac{\gamma_{i+1} - \gamma_i}{Zp_{i+1} - Zp_i} - \frac{1}{2} \left(\frac{\frac{1}{2} \rho_i S_{REF} Cz_i}{m_i \sin \gamma_i} - \frac{g_0}{v_i^2 \tan \gamma_i} - \frac{g_0}{v_{i+1}^2 \tan \gamma_{i+1}} \right) \quad (6.51)$$

$$\implies Cz_{i+1} = \frac{4m_{i+1} \sin \gamma_{i+1}}{\rho_{i+1} S_{REF}} \left[\frac{\gamma_{i+1} - \gamma_i}{Zp_{i+1} - Zp_i} - \frac{1}{2} \left(\frac{\rho_i S_{REF} Cz_i}{2m_i \sin \gamma_i} - \frac{g_0}{v_i^2 \tan \gamma_i} - \frac{g_0}{v_{i+1}^2 \tan \gamma_{i+1}} \right) \right] \quad (6.52)$$

donde $\rho_i = \rho(Zp_i)$ y $\rho_{i+1} = \rho(Zp_{i+1})$ (ec. (6.23)). Similarmente, Cz_{i+1} es una función de (v_{i+1}, γ_{i+1}) , de la incógnita m_{i+1} , y del estado \mathbf{s}_i (específicamente v_i, γ_i, m_i, Cz_i) y

parámetros $(Zp_i, Zp_{i+1}, \rho_i, \rho_{i+1}, S_{REF}, g_0)$:

$$Cz_{i+1} = f_{Cz}(v_{i+1}, \gamma_{i+1}, m_{i+1}; \mathbf{s}_i, \text{params}) \quad (6.53)$$

Paso 3: Solución Analítica para m_{i+1}

Contrario a una dependencia implícita general, una inspección detallada de la estructura algebraica revela que la sustitución de λ_{i+1} (ec. (6.49)) y Cz_{i+1} (ec. (6.52)) en la ecuación $g_{v_i} = 0$ (ec. (6.3)) conduce a una ecuación cuadrática en la variable m_{i+1} . Para demostrar esto, reescribimos $g_{v_i} = 0$ aislando los términos que dependen explícitamente de m_{i+1} en el lado derecho:

$$\underbrace{2 \left(\frac{v_{i+1} - v_i}{Zp_{i+1} - Zp_i} \right) + \frac{g_0}{v_{i+1}} - \left(\frac{\lambda_i F_{NMCL_i}}{m_i v_i \sin \gamma_i} - \frac{\rho_i v_i S_{REF} (Cx_0 + kCz_i^2)}{2m_i \sin \gamma_i} - \frac{g_0}{v_i} \right)}_{\text{Termino } K_1 \text{ (depende solo de } i, v_{i+1}, \gamma_{i+1})} = \frac{\lambda_{i+1} F_{NMCL_{i+1}}}{m_{i+1} v_{i+1} \sin \gamma_{i+1}} - \frac{\rho_{i+1} v_{i+1}}{m_{i+1} v_{i+1} \sin \gamma_{i+1}} \quad (6.54)$$

Multiplicamos ambos lados por $2m_{i+1}v_{i+1} \sin \gamma_{i+1}$:

$$K_1 \cdot (2m_{i+1}v_{i+1} \sin \gamma_{i+1}) = 2\lambda_{i+1}F_{NMCL_{i+1}} - \rho_{i+1}v_{i+1}^2 S_{REF}(Cx_0 + kCz_{i+1}^2) \quad (6.55)$$

Ahora, introducimos las dependencias lineales de λ_{i+1} y Cz_{i+1} respecto a m_{i+1} . Definimos coeficientes que dependen únicamente de variables conocidas en i y las independientes (v_{i+1}, γ_{i+1}) :

$$I' = -\frac{2v_{i+1} \sin \gamma_{i+1}}{\eta F_{NMCL_{i+1}} (Zp_{i+1} - Zp_i)} \quad (6.56)$$

$$J' = \frac{2v_{i+1} \sin \gamma_{i+1} m_i}{\eta F_{NMCL_{i+1}} (Zp_{i+1} - Zp_i)} - \frac{\lambda_i F_{NMCL_i} v_{i+1} \sin \gamma_{i+1}}{F_{NMCL_{i+1}} v_i \sin \gamma_i} \quad (6.57)$$

$$H' = \frac{2 \sin \gamma_{i+1}}{\rho_{i+1} S_{REF}} \left[\frac{2(\gamma_{i+1} - \gamma_i)}{Zp_{i+1} - Zp_i} - \left(\frac{\rho_i S_{REF} Cz_i}{2m_i \sin \gamma_i} - \frac{g_0}{v_i^2 \tan \gamma_i} - \frac{g_0}{v_{i+1}^2 \tan \gamma_{i+1}} \right) \right] \quad (6.58)$$

Con estos coeficientes, las ecuaciones (6.49) y (6.52) se escriben como:

$$\lambda_{i+1} = I' m_{i+1} + J' \quad (6.59)$$

$$Cz_{i+1} = H' m_{i+1} \quad (6.60)$$

Sustituyendo (6.59) y (6.60) en (6.55):

$$(2K_1 v_{i+1} \sin \gamma_{i+1}) m_{i+1} = 2F_{N_{MCL_{i+1}}} (I' m_{i+1} + J') - \rho_{i+1} v_{i+1}^2 S_{REF} (C x_0 + k(H' m_{i+1})^2) \quad (6.61)$$

$$= (2F_{N_{MCL_{i+1}}} I') m_{i+1} + (2F_{N_{MCL_{i+1}}} J') - (\rho_{i+1} v_{i+1}^2 S_{REF} C x_0) - (\rho_{i+1} v_{i+1}^2 S_{REF} k H'^2 m_{i+1}^2) \quad (6.62)$$

Reorganizando todos los términos para formar una ecuación cuadrática estándar $ax^2 + bx + c = 0$ con $x = m_{i+1}$:

$$\underbrace{(\rho_{i+1} v_{i+1}^2 S_{REF} k H'^2)}_a m_{i+1}^2 + \underbrace{(2K_1 v_{i+1} \sin \gamma_{i+1} - 2F_{N_{MCL_{i+1}}} I')} _b m_{i+1} + \underbrace{(\rho_{i+1} v_{i+1}^2 S_{REF} C x_0 - 2F_{N_{MCL_{i+1}}} J')} _c = 0 \quad (6.63)$$

Los coeficientes a, b, c dependen únicamente de las variables en el estado i y de las variables independientes (v_{i+1}, γ_{i+1}) , a través de K_1, I', J', H' .

La solución para m_{i+1} se obtiene directamente aplicando la fórmula cuadrática:

$$m_{i+1} = \frac{-b \pm \sqrt{b^2 - 4ac}}{2a} \quad (6.64)$$

De las dos posibles soluciones (correspondientes a los signos \pm), se selecciona la físicamente relevante. Dado que se espera que la masa m_{i+1} sea positiva y cercana a m_i , generalmente solo una de las raíces cumple estas condiciones. En la implementación del código, se elige la raíz correspondiente al signo positivo (+) en el numerador, que corresponde a 'm_i_plus_1_positive'. Definimos la función f_m que encapsula esta solución analítica:

$$m_{i+1} = f_m(v_{i+1}, \gamma_{i+1}; \mathbf{s}_i, \text{params}) \quad (6.65)$$

Es fundamental notar que las variables intermedias A, L, H, I, J utilizadas en el código Python corresponden a agrupaciones algebraicas de los términos que aparecen en los coeficientes a, b, c de la ecuación cuadrática (6.63), y la fórmula implementada '(numerator_1 + numerator_2)/denominator' es algebraicamente equivalente a la solución de la fórmula cuadrática (6.64) con la elección del signo positivo.

Este resultado analítico elimina la necesidad de un solver numérico para m_{i+1} en cada paso, haciendo la evaluación de la trayectoria computacionalmente más eficiente y robusta, ya que evita posibles problemas de convergencia asociados a los métodos iterativos de búsqueda de raíces.

Paso 4: Cálculo de t_{i+1} y s_{i+1}

Una vez obtenido el valor analítico de $m_{i+1}^* = f_m(v_{i+1}, \gamma_{i+1}; \mathbf{s}_i, \text{params})$ usando (6.64), se calculan los valores correspondientes de λ_{i+1}^* y Cz_{i+1}^* usando las ecuaciones lineales (6.59) y (6.60) (evaluando I', J', H' con los valores conocidos). Finalmente, las variables de tiempo t_{i+1}^* y distancia s_{i+1}^* se calculan directamente a partir de las ecuaciones explícitas (??) y (??):

$$t_{i+1}^* = f_t(v_{i+1}, \gamma_{i+1}; \mathbf{s}_i, \text{params}) \quad (6.66)$$

$$s_{i+1}^* = f_s(\gamma_{i+1}; \mathbf{s}_i, \text{params}) \quad (6.67)$$

donde f_t y f_s representan las expresiones dadas en (??) y (??), respectivamente.

$$t_{i+1}^* = t_i + \frac{1}{2}(Zp_{i+1} - Zp_i) \left(\frac{1}{v_{i+1} \sin \gamma_{i+1}} + \frac{1}{v_i \sin \gamma_i} \right) \quad (6.68)$$

$$s_{i+1}^* = s_i + \frac{1}{2}(Zp_{i+1} - Zp_i) \left(\frac{1}{\tan \gamma_{i+1}} + \frac{1}{\tan \gamma_i} \right) \quad (6.69)$$

Procedimiento Iterativo Completo (Paso $i \rightarrow i + 1$) Revisado:

El cálculo completo del estado \mathbf{s}_{i+1} a partir de \mathbf{s}_i y la elección de (v_{i+1}, γ_{i+1}) sigue la secuencia analítica:

1. **Calcular coeficientes:** Evaluar K_1, I', J', H' (ec. (6.54), (6.56)-(6.58)).
2. **Calcular coeficientes cuadráticos:** Evaluar a, b, c de la ecuación (6.63).
3. **Resolver para m_{i+1} :** Calcular $m_{i+1}^* = \frac{-b + \sqrt{b^2 - 4ac}}{2a}$ (ec. (6.64)).
4. **Calcular λ_{i+1} :** Evaluar $\lambda_{i+1}^* = I'm_{i+1}^* + J'$ (ec. (6.59)).
5. **Calcular Cz_{i+1} :** Evaluar $Cz_{i+1}^* = H'm_{i+1}^*$ (ec. (6.60)).
6. **Calcular t_{i+1} :** Evaluar $t_{i+1}^* = f_t(\dots)$ (ec. (6.68)).

7. **Calcular** s_{i+1} : Evaluar $s_{i+1}^* = f_s(\dots)$ (ec. (6.69)).

El estado resultante es $\mathbf{s}_{i+1} = (v_{i+1}, \gamma_{i+1}, m_{i+1}^*, t_{i+1}^*, s_{i+1}^*, Cz_{i+1}^*, \lambda_{i+1}^*)$.

La Función de Costo Reducida y el Problema de Optimización:

Este procedimiento iterativo analítico define una función de mapeo, \mathcal{M} , que toma como entrada el vector de las 104 variables independientes, $\mathbf{x}_{\text{indep}} = (v_1, \dots, v_{N-1}, \gamma_1, \dots, \gamma_{N-1}) \in \mathbb{R}^{104}$, y junto con el estado inicial \mathbf{s}_0 , genera la secuencia completa de estados $\mathbf{S} = (\mathbf{s}_1, \mathbf{s}_2, \dots, \mathbf{s}_{N-1})$:

$$\mathbf{S} = \mathcal{M}(\mathbf{x}_{\text{indep}}; \mathbf{s}_0) \quad (6.70)$$

La función de costo original, ϕ_{orig} (ec. (6.41)), depende explícitamente de las componentes del estado final del ascenso, $\mathbf{s}_{N-1} = (v_{N-1}, \gamma_{N-1}, m_{N-1}, t_{N-1}, s_{N-1}, Cz_{N-1}, \lambda_{N-1})$, que son parte de la salida \mathbf{S} del mapeo \mathcal{M} . Por lo tanto, la función de costo puede ser expresada como una composición, resultando en una función que depende únicamente del vector de variables independientes $\mathbf{x}_{\text{indep}}$:

$$\boxed{\phi(\mathbf{x}_{\text{indep}}) = \phi_{\text{orig}}(\mathcal{M}(\mathbf{x}_{\text{indep}}; \mathbf{s}_0))} \quad (6.71)$$

Formalmente, $\phi : \mathbb{R}^{104} \rightarrow \mathbb{R}$. El problema de optimización se transforma en:

$$\min_{\mathbf{x}_{\text{indep}} \in \mathcal{D}} \phi(\mathbf{x}_{\text{indep}}) \quad (6.72)$$

donde $\mathcal{D} \subset \mathbb{R}^{104}$ es el dominio factible. Este dominio está definido implícitamente por las restricciones de desigualdad (6.8) a (6.12), las cuales deben ser verificadas en cada paso $j = 1, \dots, N-1$ utilizando los valores de las variables dependientes $(m_j, t_j, s_j, Cz_j, \lambda_j)$ calculadas por el mapeo \mathcal{M} . Es decir, un vector $\mathbf{x}_{\text{indep}}$ es factible si y solo si la trayectoria $\mathbf{S} = \mathcal{M}(\mathbf{x}_{\text{indep}}; \mathbf{s}_0)$ satisface todas las restricciones de desigualdad en todos los puntos $j = 1, \dots, N-1$.

La principal diferencia introducida por la solución analítica para m_{i+1} es que la evaluación de la función de costo $\phi(\mathbf{x}_{\text{indep}})$ no requiere solvers numéricos internos, lo que la hace más rápida y determinista. Esta formulación reducida y analíticamente tratable (en cada paso) es la que se utiliza para el muestreo y la optimización posterior.

6.4. Muestreo del Espacio de existencia y Ajuste de la Función Objetivo

6.4.1. Evaluación Comparativa de Estrategias de Muestreo para el Caso10D

Una vez definido el problema de optimización en el espacio reducido de 10 dimensiones (10D), $\mathbf{x}_{\text{indep}}^{10D} = (v_1, \dots, v_5, \gamma_1, \dots, \gamma_5)$, correspondiente a $N = 6$ puntos de discretización (Sección 6.3), el paso siguiente es seleccionar un método eficiente para generar puntos válidos en este espacio. La validez de un punto $\mathbf{x}_{\text{indep}}^{10D}$ requiere que la trayectoria resultante, calculada mediante el procedimiento iterativo analítico, satisfaga todas las restricciones operacionales y físicas (6.8) a (6.12) en cada uno de los puntos intermedios $i = 1, \dots, 5$. El objetivo es obtener un conjunto representativo de pares $(\mathbf{x}_{\text{indep}}^{10D}, \phi)$ para el posterior ajuste del modelo QUBO (Sección ??).

Dada la complejidad inherente a la verificación de restricciones en cada paso de la trayectoria, la eficiencia del método de muestreo es crucial. Se consideraron diversas estrategias, incluyendo las discutidas conceptualmente en el Capítulo ??: métodos basados en grillas (impracticables en 10D), perturbaciones gaussianas (eficientes para exploración local pero limitados para cobertura global), búsqueda de puntos adyacentes (con escalabilidad exponencial 3^{10} que lo hace inviable computacionalmente para obtener una muestra amplia) y métodos basados en poblaciones como Evolución Diferencial (DE). Adicionalmente, se evaluaron métodos de muestreo aleatorio simple como Direcciones Aleatorias (RDS) y secuencias de baja discrepancia como Sobol Secuencial (SSS).

Para fundamentar la elección del método de muestreo, se realizó un experimento numérico comparativo en el espacio 10D. Se ejecutaron cinco algoritmos — Búsqueda Adyacente, Evolución Diferencial (DE), Perturbación Local (LPS), Direcciones Aleatorias (RDS) y Sobol Secuencial (SSS) — durante un tiempo de cómputo predefinido (900s o 3600s, según el método) en el mismo entorno computacional. Se registraron las siguientes métricas clave para cada método:

- **Número de Puntos Válidos:** La cantidad total de puntos $\mathbf{x}_{\text{indep}}^{10D}$ que generaron trayectorias completas y válidas.
- **Eficiencia de Muestreo (Puntos/Segundo):** Tasa de generación de puntos válidos.

dos.

- **Cobertura Espacial (Hipervolumen BBox):** Volumen del mínimo hiperrectángulo alineado a los ejes que contiene todos los puntos válidos generados ($V_{BBox,m}$).
- **Cobertura Relativa Normalizada:** Dado que SSS está diseñado para una exploración uniforme, su volumen BBox $V_{BBox,SSS}$ se utilizó como referencia (100 %). La cobertura relativa de otro método m se calculó como $C_{rel,m} = (V_{BBox,m}/V_{BBox,SSS}) \times 100 \%$.

Los resultados de esta evaluación comparativa se resumen visualmente en las Figuras 6.1 y 6.2. La Figura 6.1 muestra una comparación directa del número de puntos válidos, la eficiencia y, crucialmente, la cobertura relativa alcanzada. La Figura 6.2 ofrece una perspectiva normalizada del rendimiento multidimensional.

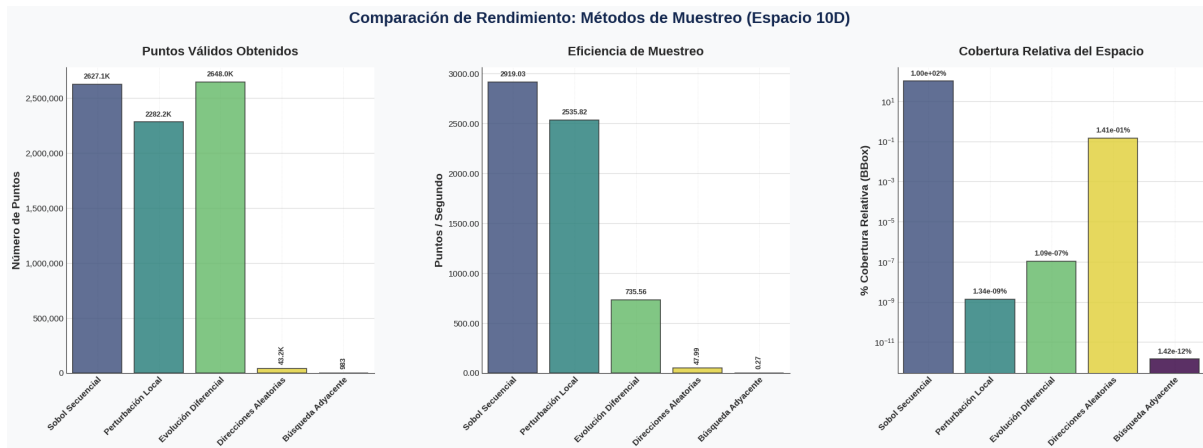


Figura 6.1: Comparación del rendimiento de cinco métodos de muestreo en el espacio 10D. Se muestra el número total de puntos válidos obtenidos, la eficiencia (puntos válidos por segundo) y el porcentaje de cobertura espacial del Bounding Box (BBox) relativo al alcanzado por Sobol Secuencial (SSS), dentro de tiempos de ejecución fijos (900s para LPS, RDS, SSS; 3600s para Búsqueda Adyacente y DE).

Comparativa Normalizada de Métodos

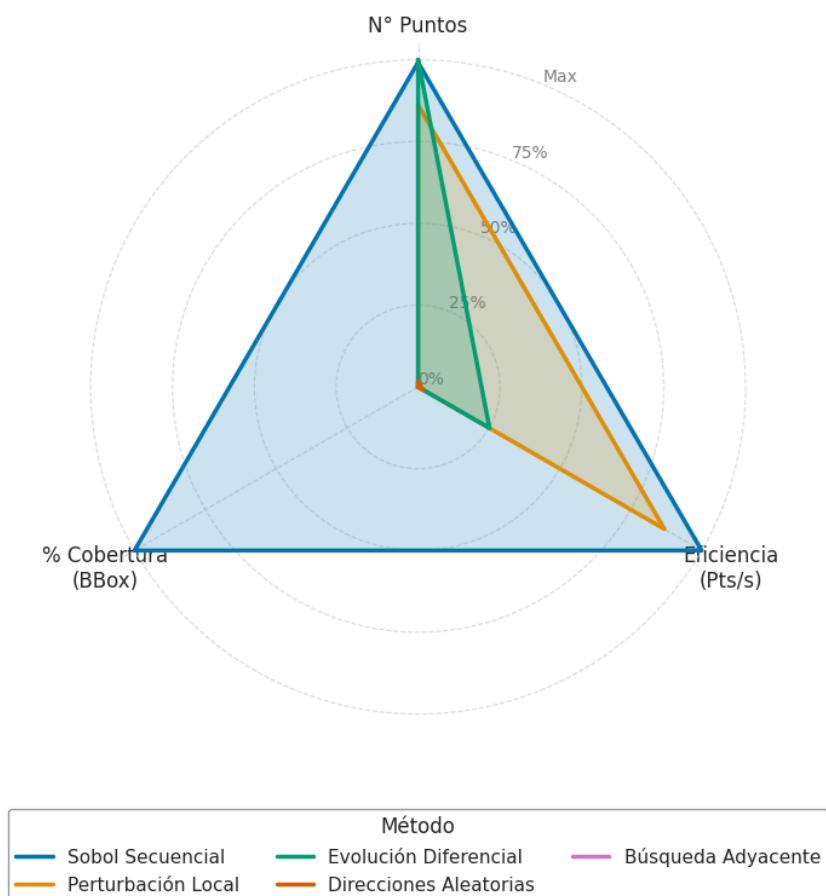


Figura 6.2: Gráfico de radar que ilustra el rendimiento normalizado (0 % al 100 % del máximo observado en la métrica) de los métodos de muestreo evaluados según el número de puntos, la eficiencia (puntos/segundo) y la cobertura relativa del BBox.

El análisis de los resultados revela diferencias significativas:

- **Generación de Puntos y Eficiencia:** SSS y LPS generaron la mayor cantidad de puntos válidos en sus 900 segundos de ejecución, demostrando una alta eficiencia en la producción de puntos. DE también generó un número elevado de puntos, pero requirió un tiempo considerablemente mayor (3600s), resultando en una eficiencia menor. RDS y, especialmente, Búsqueda Adyacente, fueron significativamente menos productivos.
- **Cobertura Espacial:** Esta métrica muestra la disparidad más crítica. SSS, por su naturaleza de baja discrepancia, logró explorar un hipervolumen BBox considerablemente mayor ($V_{BBox,SSS} \approx 9,57 \times 10^{10}$ unidades¹⁰) que todos los demás métodos. La cobertura relativa (Figura 6.1, gráfico derecho) evidencia que RDS cubrió apro-

ximadamente un 0.14 % del volumen BBox de SSS, mientras que los volúmenes cubiertos por DE, LPS y Búsqueda Adyacente fueron prácticamente insignificantes en comparación (órdenes de magnitud 10^{-7} % o menores). Estos resultados sugieren que, aunque métodos como LPS pueden generar puntos rápidamente, tienden a hacerlo en una región más localizada del espacio factible, mientras que SSS realiza una exploración más amplia y sistemática.

- **Rendimiento Global:** El gráfico de radar (Figura 6.2) confirma el perfil equilibrado de SSS, destacando en cobertura mientras mantiene una alta generación de puntos. Los otros métodos muestran fortalezas en algunas métricas (e.g., eficiencia de LPS) pero debilidades marcadas en otras (principalmente cobertura).

Los datos numéricos completos que respaldan estas observaciones se encuentran detallados en la tabla del Apéndice [Referencia a tu Apéndice, ej. Apéndice D].

Basado en estos resultados experimentales, particularmente en la demostrada superioridad en la cobertura del espacio de búsqueda — una característica esencial para construir una aproximación global precisa de la función de costo ϕ —, se seleccionó el método de **Sobol Secuencial (SSS)** como la estrategia de muestreo principal para generar el conjunto de datos en el problema 10D. Aunque otros métodos puedan encontrar puntos válidos más rápidamente en fases iniciales, la capacidad de SSS para distribuir los puntos de manera más uniforme a través del dominio de las variables independientes $\mathbf{x}_{\text{indep}}^{10D}$ es fundamental para la calidad del ajuste posterior del modelo QUBO.

El siguiente paso consiste en describir el proceso detallado de generación de estos puntos válidos utilizando SSS, incorporando la evaluación rigurosa de las restricciones de trayectoria.

6.5. Optimización y Análisis

Estrategia Metodológica

La estrategia inicial para la sección de optimización y análisis la pensé simplemente transcribir pasar al formato adecuado el archivo `Optimizacion_completa_4D.ipynb`. que está en el repositorio pero para lo que venía no es lo suficientemente completo, he revisado con detenimiento y creo que la mejor forma de conseguir un propósito, el más importante,

que es una comparativa entre enfoques cuántico y clásico es a partir de ciertos puntos como principios y llevar a cabo los experimentos que ya he mostrado en los otros archivos, pero para una mayor dimensionalidad.

Supuesto Fundamental para la Comparación

(Primero el muestreo ya explicado - se sigue el ajuste a discretización - finalmente matriz Q) Para realizar una comparación fundamental entre los paradigmas de optimización, es necesario que ambos lleven una representación idéntica del problema. El problema original de la trayectoria de ascenso es de naturaleza continua. Para su tratamiento mediante computación cuántica adiabática, se ha formulado un modelo de Optimización Cuadrática Binaria sin Restricciones (QUBO), representado por la matriz Q . En el análisis siguiente, se asume que este modelo QUBO no es una aproximación, sino una representación discreta, exacta y completa del problema de optimización original. Esta suposición metodológica permite aislar el rendimiento de los métodos de optimización en sí mismos, eliminando el error de modelado como variable que pudiera confundir. Por lo tanto, el optimizador clásico se enfrentará a la función continua $\phi(\mathbf{x})$, mientras que el optimizador cuántico abordará su equivalente discreto, la matriz Q .

Análisis el Optimizador Clásico

El primer pilar del experimento consiste en evaluar la estabilidad y fiabilidad del enfoque clásico. Se utilizará el algoritmo de Evolución Diferencial, algoritmo que ya antes usé y que es ampliamente utilizado para estos problemas de optimización. Se realizaron múltiples ejecuciones (aprox. $N=200$) del algoritmo sobre la función de coste continua de 10D, cada una con una inicialización de población aleatoria distinta. La hipótesis subyacente es que este método, si bien es rápido en una única ejecución, es propenso a quedar atrapado en óptimos locales, lo que producirá una distribución dispersa de soluciones finales. El resultado de este experimento será un histograma de frecuencias que visualizará la variabilidad de los mínimos encontrados, junto con un análisis estadístico de la dispersión (media, desviación estándar, mejor y peor resultado).

Evaluación del Enfoque Cuántico (Simulado)

El segundo pilar se centra en el paradigma cuántico. Se empleará un Recocido Cuántico Simulado que emula el comportamiento de un procesador cuántico adiabático, para resolver el problema formulado como QUBO. Este método opera directamente sobre la matriz Q derivada del modelo. A diferencia del enfoque clásico, he visto que este método, basado en principios físicos de minimización de energía, converge de manera consistente a un único valor de energía mínima (o a una distribución muy estrecha alrededor de este), independientemente de la aleatoriedad inherente al proceso de simulación. El objetivo es demostrar la **robustez** del enfoque: la capacidad de encontrar de manera fiable la solución de más alta calidad del modelo discreto.

Síntesis Comparativa y Proyección a Alta Dimensionalidad

Sintetizaré los hallazgos. Los resultados de ambos experimentos se superpondrán en un único gráfico comparativo que contrastará la distribución dispersa de las soluciones clásicas con la solución única del enfoque cuántico como se llega a este después de los experimentos. Posteriormente, se realizará un análisis de escalabilidad al problema completo de 104 dimensiones ($N=53$). Se calculará el número de qubits lógicos necesarios para esta tarea (aproximadamente 1,664) y se argumentará cómo las limitaciones observadas en cada paradigma (inestabilidad en el clásico, requerimientos de hardware en el cuántico) evolucionan con el aumento de la dimensionalidad, posicionando al enfoque cuántico como una solución teóricamente superior para problemas de esta escala y complejidad. Para esto estoy corriendo lo que había montado en el repositorio pero para 10D y para finalmente tomar datos, el refinar los experimentos y para 10D me atrazó

Bibliografía

- [1] Ejemplo Albert Einstein. Zur elektrodynamik bewegter körper. *Annalen der Physik*, 322(10):891–921, 1905.

Apéndice A: Tabla parámetros Jacobiano

Valores numéricos de las variables utilizados para el cálculo del Jacobiano (N=53).

| Índice i | v_i (m s ⁻¹) | γ_i (rad) | m_i (kg) | t_i (s) | s_i (m) | Cz_i | λ_i |
|------------|----------------------------|------------------|------------|-----------|-------------|-------------|-------------|
| 0 | 128,6111 | 0,041 121 2 | 60 000,00 | 0,000 | 0,000 | 0,730 998 4 | 1,000 000 0 |
| 1 | 136,7234 | 2,357 475 | 59 987,33 | 19,878 | 2791,075 | 0,565 680 0 | 0,003 376 8 |
| 2 | 139,5766 | 1,463 918 | 59 948,49 | 54,138 | 7532,520 | 0,581 445 3 | 0,988 333 2 |
| 3 | 151,9533 | 1,983 589 | 59 900,18 | 89,319 | 12 616,615 | 0,484 308 5 | 0,363 105 4 |
| 4 | 137,5948 | 2,049 337 | 59 882,68 | 118,727 | 16 864,579 | 0,615 072 3 | 0,286 373 3 |
| 5 | 144,6064 | 1,382 418 | 59 838,14 | 155,352 | 22 051,905 | 0,549 139 2 | 0,944 055 6 |
| 6 | 157,9770 | 2,282 196 | 59 790,75 | 188,666 | 27 025,859 | 0,500 980 8 | 0,508 646 3 |
| 7 | 165,2785 | 1,798 581 | 59 756,07 | 214,962 | 31 282,666 | 0,415 433 5 | 0,937 665 5 |
| 8 | 176,2942 | 2,011 179 | 59 718,06 | 241,458 | 35 792,521 | 0,423 994 5 | 0,669 496 0 |
| 9 | 186,2265 | 1,623 401 | 59 681,91 | 267,713 | 40 559,450 | 0,329 382 0 | 0,901 020 1 |
| 10 | 201,3053 | 1,753 887 | 59 640,84 | 294,018 | 45 638,940 | 0,343 423 7 | 0,920 074 0 |
| 11 | 215,9504 | 1,558 583 | 59 601,20 | 318,881 | 50 828,194 | 0,243 517 6 | 0,961 154 0 |
| 12 | 223,4818 | 1,402 146 | 59 567,40 | 345,281 | 56 630,281 | 0,287 326 4 | 0,580 343 6 |
| 13 | 210,6844 | 1,389 911 | 59 552,60 | 373,582 | 62 765,968 | 0,270 196 0 | 0,066 941 4 |
| 14 | 183,2715 | 1,268 196 | 59 548,99 | 406,643 | 69 224,390 | 0,424 124 3 | 0,066 837 3 |
| 15 | 191,7700 | 0,754 476 | 59 499,65 | 454,681 | 78 278,722 | 0,353 734 4 | 0,998 570 1 |
| 16 | 215,0883 | 1,164 775 | 59 436,57 | 501,387 | 87 633,005 | 0,328 594 5 | 0,581 999 9 |
| 17 | 207,0902 | 1,557 546 | 59 415,93 | 531,768 | 94 059,609 | 0,291 568 5 | 0,236 920 9 |
| 18 | 205,4337 | 1,662 019 | 59 392,34 | 557,597 | 99 385,732 | 0,379 074 0 | 0,967 326 6 |
| 19 | 206,1377 | 2,474 555 | 59 369,73 | 578,545 | 103 692,300 | 0,292 532 2 | 0,307 633 6 |

– Continúa en la siguiente página –

– Continuación de la Tabla A.1–

| Índice i | v_i (m s ⁻¹) | γ_i (rad) | m_i (kg) | t_i (s) | s_i (m) | Cz_i | λ_i |
|------------|----------------------------|------------------|------------|-----------|-------------|-------------|-------------|
| 20 | 201,9844 | 2,535 868 | 59 354,97 | 595,311 | 107 110,354 | 0,413 710 9 | 0,865 159 5 |
| 21 | 198,1272 | 2,684 455 | 59 340,09 | 611,733 | 110 392,964 | 0,328 486 2 | 0,338 695 1 |
| 22 | 196,5610 | 2,029 996 | 59 321,43 | 630,528 | 114 096,738 | 0,427 489 1 | 0,935 804 5 |
| 23 | 201,1868 | 2,079 021 | 59 295,06 | 651,509 | 118 265,459 | 0,349 567 5 | 0,797 231 9 |
| 24 | 203,9076 | 1,658 515 | 59 269,52 | 674,420 | 122 906,978 | 0,401 649 4 | 0,770 780 7 |
| 25 | 208,1503 | 1,606 368 | 59 240,74 | 699,901 | 128 154,941 | 0,347 092 6 | 0,837 160 5 |
| 26 | 209,0635 | 2,066 627 | 59 217,10 | 722,630 | 132 892,687 | 0,408 856 7 | 0,637 774 2 |
| 27 | 209,3965 | 2,160 879 | 59 196,45 | 742,016 | 136 945,904 | 0,340 621 2 | 0,932 990 6 |
| 28 | 211,2554 | 2,128 335 | 59 174,63 | 761,014 | 140 938,997 | 0,414 024 3 | 0,776 818 6 |
| 29 | 204,5425 | 1,465 633 | 59 158,08 | 784,834 | 145 872,739 | 0,376 959 8 | 0,356 959 3 |
| 30 | 200,9845 | 1,709 762 | 59 135,89 | 811,591 | 151 299,384 | 0,473 046 9 | 0,962 746 9 |
| 31 | 205,7364 | 1,870 584 | 59 107,73 | 835,191 | 156 093,142 | 0,374 446 2 | 0,895 106 8 |
| 32 | 206,3696 | 2,208 297 | 59 085,78 | 855,725 | 160 321,086 | 0,481 735 4 | 0,790 656 2 |
| 33 | 206,3256 | 2,247 994 | 59 065,90 | 874,365 | 164 164,410 | 0,370 564 6 | 0,933 488 5 |
| 34 | 208,2782 | 2,030 546 | 59 043,63 | 893,733 | 168 177,614 | 0,481 677 9 | 0,953 109 6 |
| 35 | 209,5615 | 2,395 760 | 59 022,44 | 912,398 | 172 073,227 | 0,376 767 3 | 0,939 822 6 |
| 36 | 206,6332 | 2,273 092 | 59 006,13 | 930,055 | 175 743,637 | 0,503 208 7 | 0,636 592 8 |
| 37 | 205,3361 | 1,650 319 | 58 985,45 | 951,820 | 180 221,992 | 0,419 970 2 | 0,959 676 8 |
| 38 | 207,5626 | 1,885 643 | 58 959,73 | 975,409 | 185 087,722 | 0,521 404 7 | 0,958 493 9 |
| 39 | 208,4137 | 2,038 572 | 58 937,22 | 996,440 | 189 458,943 | 0,407 995 6 | 0,960 082 1 |
| 40 | 208,5414 | 1,781 175 | 58 915,12 | 1018,058 | 193 963,447 | 0,526 002 0 | 0,912 431 4 |
| 41 | 205,2877 | 1,604 021 | 58 894,18 | 1042,602 | 199 037,397 | 0,452 140 6 | 0,688 630 0 |
| 42 | 203,7409 | 1,320 317 | 58 868,22 | 1071,538 | 204 950,985 | 0,554 001 5 | 0,989 202 6 |
| 43 | 209,3816 | 0,882 977 | 58 828,26 | 1110,633 | 213 045,643 | 0,469 602 6 | 0,993 479 1 |
| 44 | 210,1224 | 1,313 549 | 58 793,27 | 1149,325 | 221 157,018 | 0,552 174 7 | 0,736 894 4 |
| 45 | 205,2721 | 1,627 524 | 58 770,86 | 1177,670 | 227 048,748 | 0,480 561 8 | 0,871 098 3 |
| 46 | 206,0819 | 0,863 668 | 58 736,84 | 1214,561 | 234 639,350 | 0,566 908 7 | 0,998 161 7 |
| 47 | 209,6307 | 0,952 178 | 58 693,86 | 1260,090 | 244 096,995 | 0,507 482 4 | 0,988 045 1 |
| 48 | 209,8229 | 1,206 811 | 58 659,27 | 1298,469 | 252 144,245 | 0,579 623 9 | 0,943 427 9 |
| 49 | 208,7912 | 1,064 246 | 58 627,42 | 1334,665 | 259 717,719 | 0,523 131 5 | 0,992 501 8 |
| 50 | 208,9617 | 0,830 102 | 58 588,59 | 1378,639 | 268 902,154 | 0,592 962 3 | 0,999 347 4 |

– Continúa en la siguiente página –

– Continuación de la Tabla A.1–

| Índice i | v_i (m s ⁻¹) | γ_i (rad) | m_i (kg) | t_i (s) | s_i (m) | Cz_i | λ_i |
|------------|----------------------------|------------------|------------|-----------|-------------|-------------|-------------|
| 51 | 208,7071 | 0,866 535 | 58 546,74 | 1427,022 | 279 005,029 | 0,552 122 6 | 0,995 132 3 |
| 52 | 209,5264 | 0,420 128 | 58 486,31 | 1499,370 | 294 143,645 | 0,596 308 6 | 0,989 111 8 |

Con estos valores numéricos, se construyó la matriz Jacobiana J_{num} de dimensiones 260×364 . El cálculo del rango de esta matriz mediante descomposición en valores singulares (SVD) arrojó un valor de $\boxed{260}$.

Este resultado confirma que las 260 ecuaciones de estado son linealmente independientes en el punto evaluado. Por lo tanto, el número de variables independientes (grados de libertad) del sistema es:

$$\text{Variables Independientes} = \text{Número Total de Variables} - \text{Rango}(J) = 364 - 260 = 104$$

A.1. Apéndice B: Código de ϕ

```
# Código de ejemplo
def funcion_ejemplo():
    print("Hola Mundoo")
```

A.2. Apéndice C: Datos Adicionales

Maecenas non massa. Vestibulum pharetra nulla at lorem. Duis quis quam id lacus dapibus interdum. Nulla lorem. Donec ut ante quis dolor bibendum condimentum. Etiam egestas tortor vitae lacus. Praesent cursus. Mauris bibendum pede at elit. Morbi et felis a lectus interdum facilisis. Sed suscipit gravida turpis. Nulla at lectus. Vestibulum ante ipsum primis in faucibus orci luctus et ultrices posuere cubilia Curae; Praesent nonummy luctus nibh. Proin turpis nunc, congue eu, egestas ut, fringilla at, tellus. In hac habitasse platea dictumst.